



เครื่องร่น้ำต้นไม้อัตโนมัต




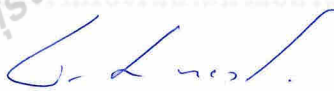
รายงานนี้เป็นส่วนหนึ่งของการศึกษาวิชา 427499 โครงการวิศวกรรมโทรคมนาคม
หลักสูตรวิศวกรรมศาสตรบัณฑิต สาขาวิชาวิศวกรรมโทรคมนาคม หลักสูตรปรับปรุง พ.ศ. 2546
สำนักวิชาวิศวกรรมศาสตร์ มหาวิทยาลัยเทคโนโลยีสุรนารี
ประจำภาคการศึกษาที่ 3 ปีการศึกษา 2553

เครื่องร่น้ำต้นไม้อัตโนมัติ

คณะกรรมการสอบโครงการ


(ผู้ช่วยศาสตราจารย์ เรืออากาศเอก ดร. ประโยชน์ คำสวัสดิ์)
กรรมการ/อาจารย์ที่ปรึกษาโครงการ


(ผู้ช่วยศาสตราจารย์ ดร. รังสรรค์ ทองทา)
กรรมการ


(ผู้ช่วยศาสตราจารย์ ดร. ชัยชัย ทองโสภ)
กรรมการ

มหาวิทยาลัยเทคโนโลยีสุรนารี อนุมัติให้นำรายงานโครงการฉบับนี้ เป็นส่วนหนึ่งของการศึกษาระดับปริญญาตรี สาขาวิชาวิศวกรรมโทรคมนาคม วิชา 427499 โครงการวิศวกรรมโทรคมนาคม ประจำปีการศึกษา 2553

| | | | |
|------------------|-------------------------------|----------|-----------------------|
| โครงการ | เครื่องร่อนน้ำต้นไม้อัตโนมติ | | |
| ผู้ดำเนินงาน | 1.นางสาวสุปรียา | มะโนมัน | รหัสประจำตัว B5003686 |
| | 2.นายไพสิฐ | พูลเพิ่ม | รหัสประจำตัว B5017171 |
| อาจารย์ที่ปรึกษา | ผศ.ร.อ. ดร.ประโยชน์ คำสวัสดิ์ | | |
| สาขาวิชา | วิศวกรรมโทรคมนาคม | | |
| ภาคการศึกษา | 3/2553 | | |

บทคัดย่อ (Abstract)

ในปัจจุบันนี้โลกกำลังเผชิญกับปัญหาภาวะโลกร้อน อันเนื่องมาจากทรัพยากรป่าไม้กำลังจะหมดไป ดังนั้นทางภาครัฐจึงได้มีการรณรงค์ให้มีการปลูกต้นไม้ และเพื่ออำนวยความสะดวกหลักการทำงานของเครื่องร่อนน้ำต้นไม้อัตโนมติ คือ จะรับค่าความชื้นและอุณหภูมิผ่านตัวเซนเซอร์เข้ามาประมวลผลโดยตัวไมโครคอนโทรลเลอร์ เพื่อตัดสินใจว่าจะทำการร่อนน้ำต้นไม้อัตโนมติหรือไม่ และยังสามารถทำงานได้ในโหมดของการตั้งเวลา เพื่อให้ทำการร่อนน้ำต้นไม้อัตโนมติตามเวลาที่ตั้งไว้ โดยที่การเปิด - ปิดน้ำ จะควบคุมผ่านโซลินอยด์วาล์ว จากการทดสอบการทำงานพบว่า เครื่องร่อนน้ำต้นไม้อัตโนมติสามารถทำงานได้จริงตามที่ออกแบบไว้ทุกประการ

กิตติกรรมประกาศ

(Acknowledgement)

การจัดทำโครงการเรื่อง เครื่องร่อนน้ำต้นไม้อัตโนมัตินี้ได้ประสบความสำเร็จด้วยดี เนื่องจากได้รับความอนุเคราะห์ในการให้คำปรึกษาในด้านต่างๆ ในระหว่างการดำเนินการจากบุคคลหลายท่านที่ได้ให้ความช่วยเหลือและให้คำปรึกษา รวมทั้งข้อเสนอแนะที่เป็นประโยชน์ในการทำโครงการครั้งนี้ ซึ่งบุคคลเหล่านี้ประกอบด้วย

ผศ.ร.อ. ดร.ประโยชน์ คำสวัสดิ์ (อาจารย์ที่ปรึกษาที่ปรึกษาโครงการ)

นายไพโรจน์ บุญไทย (นักศึกษาปริญญาโทสาขาวิชาแมคคาทรอนิกส์)

นายฉัตรณ บิน โหรน (นักศึกษาปริญญาโทสาขาวิชาเทคโนโลยีสารสนเทศ)

ข้าพเจ้าใคร่ขอขอบพระคุณผู้ที่มีส่วนเกี่ยวข้องทุกท่านที่มีส่วนร่วมในการให้ข้อมูลและเป็นที่ปรึกษาในการทำรายงานฉบับนี้จนเสร็จสมบูรณ์ ตลอดจนให้การดูแลและให้ความเข้าใจเกี่ยวกับพื้นฐานการใช้งานโปรแกรม ซึ่งข้าพเจ้าขอขอบพระคุณเป็นอย่างสูงไว้ ณ ที่นี้



นางสาวสุปรียา มะโนมัน

นายไพสิฐ พูลเพิ่ม

คณะผู้จัดทำ

สารบัญ

| เรื่อง | หน้า |
|---|------|
| บทคัดย่อ | ก |
| กิตติกรรมประกาศ | ข |
| สารบัญ | ค |
| สารบัญรูป | ฉ |
| สารบัญตาราง | ญ |
| บทที่ 1 บทนำ | |
| 1.1 ความเป็นมา | 1 |
| 1.2 วัตถุประสงค์ | 1 |
| 1.3 ขอบเขตงาน | 1 |
| 1.4 ขั้นตอนการดำเนินงาน | 2 |
| 1.5 ประโยชน์ที่คาดว่าจะได้รับ | 2 |
| บทที่ 2 ทฤษฎีและหลักการที่เกี่ยวข้อง | |
| 2.1 บทนำ | 3 |
| 2.2 ไมโครคอนโทรลเลอร์ | 3 |
| 2.2.1 คุณสมบัติของ MCU เบอร์ ATmega128 | 4 |
| 2.3 หลักการทำงานของเซนเซอร์วัดความชื้นและอุณหภูมิ | |
| 2.3.1 เซนเซอร์ SHT15 | 5 |
| 2.3.2 คุณลักษณะเฉพาะของไอซี และบอร์ดวัด/ควบคุมอุณหภูมิและความชื้นสัมพัทธ์ | 7 |
| 2.4 หลักการทำงานของโซลินอยด์ | |
| 2.4.1 โซลินอยด์วาล์ว (Solenoid Valve) | 8 |
| 2.4.2 หลักการทำงานของโซลินอยด์ | 9 |
| 2.5 การใช้งาน RTC (Real Time Clock) ด้วย DS1307 | 10 |
| 2.5.1 การรับส่งข้อมูลแบบ I ² C | 12 |
| 2.5.2 สถานะของการรับส่งข้อมูลแบบ I ² C | 13 |

สารบัญ (ต่อ)

| เรื่อง | หน้า |
|--|------|
| บทที่ 3 หลักการทำงานและการใช้โปรแกรม Winavr | |
| 3.1 บทนำ | 17 |
| 3.2 การออกแบบ Hardware | 17 |
| 3.2.1 การออกแบบไมโครคอนโทรลเลอร์ | 20 |
| 3.2.2 การออกแบบ Relay และ Solenoid Valve | 27 |
| 3.2.3 การออกแบบ Sensor SHT15 | 28 |
| 3.3 การออกแบบ Software | |
| 3.3.1 Flow chat | 29 |
| บทที่ 4 ผลการทดลอง | |
| 4.1 บทนำ | 35 |
| 4.2 การวัดค่าความชื้นและอุณหภูมิ | 37 |
| 4.3 การทดสอบการทำงานของเครื่องรดน้ำต้นไม้อัตโนมัติเมื่อถึงเวลาที่ตั้งไว้ | 38 |
| 4.4 การทดสอบการทำงานของเครื่องรดน้ำต้นไม้อัตโนมัติเมื่อกำหนดความชื้น | 39 |
| บทที่ 5 วิเคราะห์ผลการทดลอง | |
| 5.1 บทนำ | 42 |
| 5.2 วิเคราะห์ผลการทดลอง | 42 |
| บทที่ 6 สรุปและข้อเสนอแนะ | |
| 6.1 บทนำ | 45 |
| 6.2 สรุปผลการทดสอบ | 45 |
| 6.3 ปัญหาและอุปสรรค | 46 |
| 6.4 ข้อเสนอแนะ | 46 |
| ภาคผนวก ก โปรแกรม WinAVR | 47 |
| ภาคผนวก ข โค้ดโปรแกรม | 56 |
| ภาคผนวก ค Data sheet | 83 |

สารบัญ (ต่อ)

| | |
|-----------------|------|
| เรื่อง | หน้า |
| ประวัติผู้เขียน | 104 |
| บรรณานุกรม | 105 |



สารบัญรูป

| เรื่อง | หน้า |
|---|------|
| รูปที่ 2.1 Pinout ATmega128 | 4 |
| รูปที่ 2.2 เซนเซอร์ SHT15 | 5 |
| รูปที่ 2.3 Relative Humidity | 6 |
| รูปที่ 2.4 Temperture | 6 |
| รูปที่ 2.5 โซลินอยด์วาล์ว | 8 |
| รูปที่ 2.6 แสดงลักษณะของโซลินอยด์วาล์ว | 8 |
| รูปที่ 2.7 ขดลวดแม่เหล็ก | 9 |
| รูปที่ 2.8 สภาพะการทำงานของขดลวดโซลินอยด์ | 10 |
| รูปที่ 2.9 ตำแหน่งขาไอซี RTC DS1307 | 11 |
| รูปที่ 2.10 การเชื่อมต่อ DS1307 เข้ากับไมโครคอนโทรลเลอร์ด้วยระบบบัสแบบ I ² C | 12 |
| รูปที่ 2.11 การรับส่งข้อมูลผ่านบัส I ² C | 14 |
| รูปที่ 2.12 การเขียนข้อมูลอุปกรณ์ Slave ผ่านบัส I ² C | 14 |
| รูปที่ 2.13 การอ่านข้อมูลอุปกรณ์ Slave ผ่านบัส I ² C | 15 |
| รูปที่ 2.14 รีจิสเตอร์ภายในไอซีฐานเวลา DS1307 | 15 |
| รูปที่ 3.1 ระบบเครื่องรดน้ำต้นไม้อัตโนมัติ | 17 |
| รูปที่ 3.2 เครื่องรดน้ำต้นไม้อัตโนมัติ | 18 |
| รูปที่ 3.3 สวิตซ์การใช้งานเครื่องรดน้ำต้นไม้อัตโนมัติ | 18 |
| รูปที่ 3.4 วงจรบอร์ดไมโครคอนโทรลเลอร์ | 20 |
| รูปที่ 3.5 การออกแบบ ATmega128 | 21 |
| รูปที่ 3.6 การออกแบบ IC 74LVC245 | 22 |
| รูปที่ 3.7 การออกแบบ LM1117T33 | 22 |
| รูปที่ 3.8 การออกแบบ DS1307 | 23 |
| รูปที่ 3.9 การออกแบบ LCD | 23 |
| รูปที่ 3.10 การออกแบบ MAX 232 | 24 |
| รูปที่ 3.11 การออกแบบ 2N4403 | 24 |
| รูปที่ 3.12 การออกแบบไฟเลี้ยง 5V | 25 |

สารบัญรูป (ต่อ)

| เรื่อง | หน้า |
|---|------|
| รูปที่ 3.13 การออกแบบ Switch | 25 |
| รูปที่ 3.14 การแสดงผลที่หน้าจอ LCD | 26 |
| รูปที่ 3.15 วงจร Relay ขับ Solenoid Valve | 27 |
| รูปที่ 3.16 บอร์ด Relay ต่อกับ Solenoid Valve | 27 |
| รูปที่ 3.17 วงจร Sensor SHT15 | 28 |
| รูปที่ 3.18 Sensor SHT15 | 28 |
| รูปที่ 3.19 แผนภาพการทำงานของเครื่องรดน้ำต้นไม้ | 29 |
| รูปที่ 3.20 แผนภาพฟังก์ชันการตั้งเวลาของเครื่องรดน้ำต้นไม้ | 31 |
| รูปที่ 3.21 แผนภาพฟังก์ชันการรดน้ำต้นไม้ของเครื่องรดน้ำต้นไม้ | 33 |
| รูปที่ 4.1 แสดงวิธีการทดสอบวัดค่าความชื้น และอุณหภูมิ | 35 |
| รูปที่ 4.2 การทดลองรดน้ำต้นไม้ | 36 |
| รูปที่ 4.3 บริเวณที่ทำการทดลอง | 36 |
| รูปที่ ก.1 เลือกโปรแกรมที่ติดตั้ง | 48 |
| รูปที่ ก.2 เลือกภาษา | 48 |
| รูปที่ ก.3 หน้าต่าง Welcome to the WinAVR 20100110 setup wizard | 49 |
| รูปที่ ก.4 หน้าต่าง License Agreement | 49 |
| รูปที่ ก.5 หน้าต่าง Choose install location | 50 |
| รูปที่ ก.6 หน้าต่าง Choose components | 50 |
| รูปที่ ก.7 หน้าต่าง Installing | 51 |
| รูปที่ ก.8 หน้าต่างแสดงการติดตั้งเสร็จสมบูรณ์ | 51 |
| รูปที่ ก.9 เลือกโปรแกรม aStudio4b528 | 52 |
| รูปที่ ก.10 หน้าต่าง Welcome to the installshield wizard for AVRStudio4 | 52 |
| รูปที่ ก.11 หน้าต่าง License agreement | 53 |
| รูปที่ ก.12 หน้าต่าง Choose destination location | 53 |
| รูปที่ ก.13 หน้าต่าง Select features | 54 |
| รูปที่ ก.14 หน้าต่าง Ready to install the program | 54 |

สารบัญรูป (ต่อ)

| เรื่อง | หน้า |
|--|------|
| รูปที่ ก.15 หน้าต่างแสดงการเสร็จสิ้นการลงโปรแกรม AVR Studio 4 | 55 |
| รูปที่ ก.16 การ Connect to the selected AVR programmer | 56 |
| รูปที่ ก.17 วิธีการเปิดไฟล์ HEX | 56 |
| รูปที่ ก.18 แสดงการเลือกไฟล์ HEX | 57 |
| รูปที่ ก.19 คำสั่งในการโหลดไฟล์ HEX | 57 |
| รูปที่ ค.1 Ordering Information | 86 |
| รูปที่ ค.2 Block Diagram | 86 |
| รูปที่ ค.3 Table 1 Sensor Performance Specifications | 87 |
| รูปที่ ค.4 Rel. Humidity, Temperature and Dewpoint accuracies | 88 |
| รูปที่ ค.5 Typical application circuit | 89 |
| รูปที่ ค.6 "Transmission Start" sequence | 90 |
| รูปที่ ค.7 SHTxx list of commands | 90 |
| รูปที่ ค.8 Connection reset sequence | 92 |
| รูปที่ ค.9 Example RH measurement sequence for value "0000'1001 '0011'0001" = 2353 = 75.79 %RH (without temperature compensation) | 92 |
| รูปที่ ค.10 Overview of Measurement Sequence (TS = Transmission Start) | 93 |
| รูปที่ ค.11 Status Register Write | 93 |
| รูปที่ ค.12 Status Register Read | 93 |
| รูปที่ ค.13 Status Register Bits | 93 |
| รูปที่ ค.14 SHTxx DC Characteristics | 95 |
| รูปที่ ค.15 SHTxx I/O Signals Characteristics | 95 |
| รูปที่ ค.16 Timing Diagram | 95 |
| รูปที่ ค.17 Humidity conversion coefficients | 96 |
| รูปที่ ค.18 Conversion from SORH to relative humidity | 96 |
| รูปที่ ค.19 Temperature compensation coefficients | 97 |
| รูปที่ ค.20 Temperature conversion coefficients | 97 |

สารบัญรูป (ต่อ)

| เรื่อง | หน้า |
|---|------|
| รูปที่ ค.21 Recommended operating conditions | 98 |
| รูปที่ ค.22 Qualification tests (excerpt) | 100 |
| รูปที่ ค.23 SHT1x Pin Description | 101 |
| รูปที่ ค.24 Tape configuration and unit orientation | 102 |
| รูปที่ ค.25 SHT1x PCB Mounting example | 102 |
| รูปที่ ค.26 SF1 IP67 filter cap mounting example | 103 |
| รูปที่ ค.27 SHT1x drawing and footprint dimensions in mm (inch) | 103 |



สารบัญตาราง

| เรื่อง | หน้า |
|--|------|
| ตารางที่ 2.1 การควบคุมความถี่ออสซิลเลเตอร์ด้วยการเซตบิต RS1, RS0 | 16 |
| ตารางที่ 4.1 การวัดค่าความชื้นและอุณหภูมิ | 37 |
| ตารางที่ 4.2 ผลการทดสอบการทำงานของเครื่องรดน้ำต้นไม้อัตโนมัติ เมื่อถึงเวลาที่ตั้งไว้ | 38 |
| ตารางที่ 4.3 ผลการทดสอบการทำงานของเครื่องรดน้ำต้นไม้อัตโนมัติ เมื่อกำหนดค่าความชื้น | 39 |



บทที่ 1

บทนำ

1.1 ความเป็นมา

ในปัจจุบันนี้โลกกำลังเผชิญกับปัญหาภาวะโลกร้อน อันเนื่องมาจากทรัพยากรป่าไม้กำลังจะหมดไป ดังนั้นทางภาครัฐจึงได้มีการรณรงค์ให้มีการปลูกต้นไม้ ซึ่งมนุษย์ในโลกปัจจุบันต้องทำงานจึงไม่มีเวลาในการรดน้ำต้นไม้จึงทำให้เกิดความคิดที่จะสร้างเครื่องรดน้ำต้นไม้อัตโนมัติขึ้นมาเพื่ออำนวยความสะดวกแก่บุคคลที่รักโลก และเพื่อตอบสนองความต้องการของภาครัฐที่ต้องการให้ทุกคนช่วยกันรักษาต้นไม้เพื่อลดภาวะโลกร้อน ดังนั้น โครงการงานเครื่องรดน้ำอัตโนมัติจึงเหมาะกับโลกในยุคปัจจุบัน

1.2 วัตถุประสงค์

1. เพื่อตอบสนองความต้องการของส่วนบุคคลที่ต้องการความสะดวกในชีวิตประจำวัน
2. เพื่อตอบสนองความต้องการของภาครัฐ
3. เพื่อให้บุคคลทั่วไปหันมาสนใจการปลูกต้นไม้
4. เพื่อลดภาวะโลกร้อน
5. เพื่อใช้ในการเกษตร

1.3 ขอบเขตงาน

1. ศึกษาการใช้โปรแกรม WinAvR
2. ศึกษาการใช้ไมโครคอนโทรลเลอร์
3. ออกแบบวงจรต่าง ๆ
4. สร้างบอร์ดวงจรที่ควบคุมจากไมโครคอนโทรลเลอร์
5. ทดลองการใช้งานและแก้ไขสิ่งที่ผิดพลาด

1.4 ขั้นตอนการดำเนินงาน

1. ศึกษาหัวข้อที่ต้องการศึกษานำมาเปรียบเทียบ และทำการเลือกหัวข้อที่ต้องการศึกษาเรื่องเครื่องร่อนน้ำดันไม้อัตโนมัติ
2. ศึกษาข้อมูลศึกษาข้อมูลนำมาประกอบกับความรู้ทางทฤษฎีที่เกี่ยวข้องกับหัวข้อ หาข้อมูลเพิ่มเติมเกี่ยวกับหัวข้อที่ต้องการศึกษา
3. ทำการจัดซื้ออุปกรณ์อิเล็กทรอนิกส์ที่ใช้ในการศึกษา และศึกษาอุปกรณ์อิเล็กทรอนิกส์
4. ศึกษาภาษาซีเพื่อเขียนโปรแกรมควบคุมการทำงาน
5. ตรวจสอบโปรแกรมและอุปกรณ์อิเล็กทรอนิกส์ ตลอดจนการเตรียมเอกสารจัดทำเอกสาร และนำเสนอโครงการงาน

1.5 ประโยชน์ที่คาดว่าจะได้รับ

1. ทำให้บุคคลทั่วไปหันมาสนใจการปลูกต้นไม้
2. สามารถลดภาวะโลกร้อนได้
3. สามารถนำไปใช้ในการเกษตรได้
4. สามารถทำงานเป็นทีมได้
5. สามารถวิเคราะห์งานและแก้ปัญหาอย่างเป็นระบบได้

บทที่ 2

ทฤษฎีและหลักการที่เกี่ยวข้อง

2.1 บทนำ

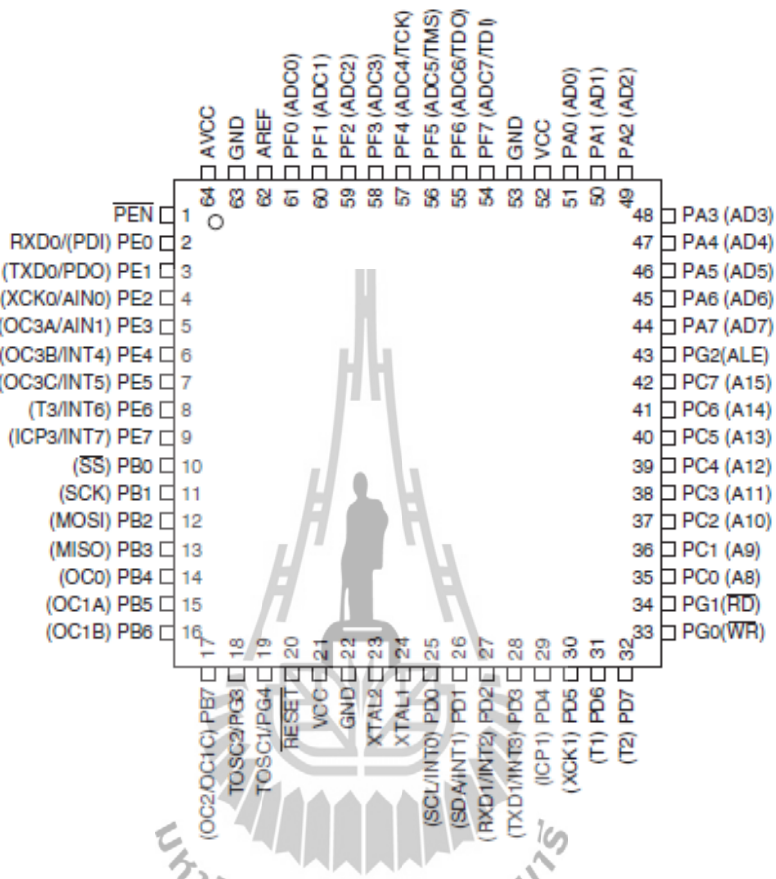
การทดสอบการทำงานของเครื่องรูดน้ำดื่มไม้อัตโนมติ ได้ใช้ทฤษฎีและหลักการที่เกี่ยวข้องคือ ไมโครคอนโทรลเลอร์ เช่น เซอร์วัดความชื้นและอุณหภูมิ และ โซลินอยด์ ซึ่งมีหลักการทำงานดังต่อไปนี้

2.2 หลักการทำงานของไมโครคอนโทรลเลอร์

ไมโครคอนโทรลเลอร์ (Microcontroller) มาจากคำ 2 คำ คำหนึ่งคือ ไมโคร (Micro) หมายถึงขนาดเล็ก และคำว่า คอนโทรลเลอร์ (controller) หมายถึงตัวควบคุมหรืออุปกรณ์ควบคุม ดังนั้น ไมโครคอนโทรลเลอร์ จึงหมายถึงอุปกรณ์ควบคุมขนาดเล็ก แต่ในตัวอุปกรณ์ควบคุมขนาดเล็กนี้ ได้บรรจุความสามารถที่คล้ายคลึงกับระบบคอมพิวเตอร์ ที่คนโดยส่วนใหญ่คุ้นเคย กล่าวคือภายใน ไมโครคอนโทรลเลอร์ได้รวมเอาซีพียู หน่วยความจำ และพอร์ต ซึ่งเป็นส่วนประกอบหลักสำคัญของระบบคอมพิวเตอร์เข้าไว้ด้วยกัน โดยทำการบรรจุเข้าไว้ในตัวถังเดียวกัน

ในโครงงานนี้เป็นบอร์ดไมโครคอนโทรลเลอร์ในตระกูล AVR ของบริษัท Atmel ซึ่งบอร์ดนี้เลือกใช้ MCU เบอร์ ATmega128 ขนาด 64 Pin โดยการออกแบบโครงสร้างของบอร์ดนั้นจะเน้นเรื่องการจัดวางบอร์ดให้มีขนาดเล็กเพื่อให้ง่ายต่อการนำไปประยุกต์ใช้งาน โดยได้นำ MCU มาจัดวางจรร่วมกับอุปกรณ์พื้นฐานที่จำเป็น และจัดขาออกมาใช้งานภายนอก ซึ่งการจัดเรียงขาสัญญาณจะทำการจัดเรียงอย่างเป็นระเบียบเพื่อให้สามารถต่อใช้งานได้โดยสะดวก โดยที่ตัวบอร์ดจะใช้ไฟเลี้ยง +5V

2.3 คุณสมบัติของ MCU เบอร์ ATmega128



รูปที่ 2.1 Pinout ATmega128

1. ความเร็วสัญญาณนาฬิกา Crystal 16 MHz
2. รองรับการ โปรแกรมแบบ SPI และ JTAG (ต้องใช้ร่วมกับบอร์ด ET.AVR START KIT V1.0)
3. Power supply ใช้แรงดันไฟฟ้า 4.5 V - 5.5 V
4. ภายใน MCU มีหน่วยความจำโปรแกรมแบบ Flash ขนาด 64 KB หน่วยความจำข้อมูล RAM ขนาด 4 KB หน่วยความจำข้อมูลถาวรแบบ EEPROM ขนาด 2 KB สามารถลบและเขียนซ้ำได้กว่า 100,000 ครั้ง

5. จำนวน I/O สูงสุดถึง 53 I/O Pins ซึ่งขาสัญญาณ I/O จะมีการใช้งานร่วมกันของ Function อื่น ๆ อีกดังนี้
 - 5.1 SPI จำนวน 1 ช่อง , I2C จำนวน 1 ช่อง , 10.Bit ADC จำนวน 8 ช่อง
 - 5.2 Programmable Serial USARTs จำนวน 2 ช่อง
 - 5.3 Timers/Counters 8.Bit จำนวน 2 ช่อง , Timers/Counters 16.Bit จำนวน 2 ช่อง , 8.Bit PWM 2 ช่อง , Watchdog timer , Real time counter
6. ทนอุณหภูมิใช้งานระหว่าง -40°C ถึง $+85^{\circ}\text{C}$ (ถ้าใช้งานที่อุณหภูมิ 85°C จะสามารถใช้งานได้ถึง 20 ปี และถ้าใช้งานที่อุณหภูมิ 25°C จะสามารถใช้งานได้ถึง 100 ปี)

2.3 หลักการทำงานของเซนเซอร์วัดความชื้นและอุณหภูมิ

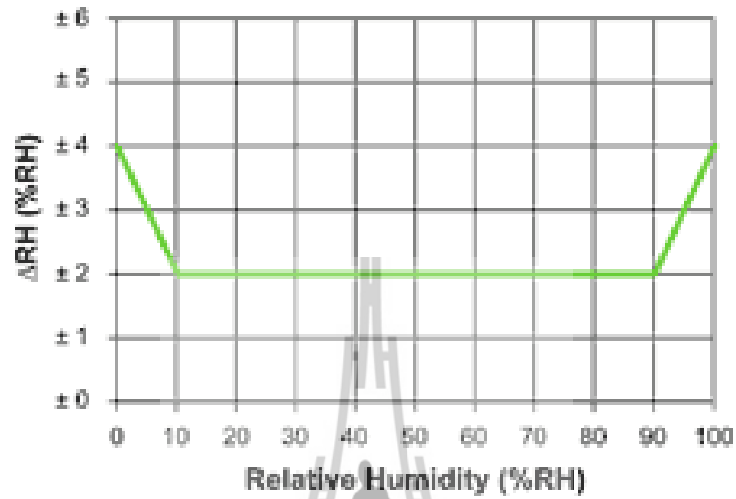
2.3.1 เซนเซอร์ SHT15

SHT15 เป็นอุณหภูมิจิตตอลและเซนเซอร์ความชื้นให้ 14 และ 12 บิตของความแม่นยำในการวัดอุณหภูมิและความชื้นตามลำดับ

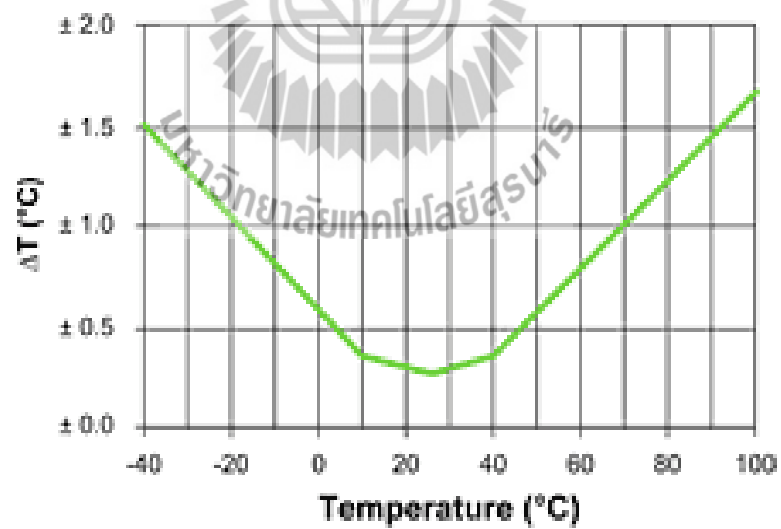


รูปที่ 2.2 เซนเซอร์ SHT15

Maximal accuracy limits for relative humidity and temperature:



รูปที่ 2.3 Relative Humidity (%RH)



รูปที่ 2.4 Temperature (°C)

2.3.2 คุณลักษณะเฉพาะของไอซี และบอร์ดวัด/ควบคุมอุณหภูมิ และความชื้นสัมพัทธ์

1. ตัวถังแบบ PDIP 28 ขา เป็น 8 bits AVR microcontroller เบอร์ ATmega8
2. ความต้องการไฟเลี้ยง 4.5 - 5.5V
3. เชื่อมต่อกับเซนเซอร์วัดอุณหภูมิ และความชื้นสัมพัทธ์ SHT15 จาก sensIriion ซึ่งมีคุณสมบัติเบื้องต้น ดังนี้
 - มี 2 เซนเซอร์ภายใน สำหรับวัดความชื้นสัมพัทธ์ และอุณหภูมิ
 - วัดความชื้นสัมพัทธ์ ได้ตั้งแต่ 0 - 100% RH โดยมี Absol. RH accuracy: +/- 2% RH (10...90% RH)
 - วัดอุณหภูมิ โดยมี Temp. accuracy: +/- 0.3°C @ 25°C
 - วัดอุณหภูมิได้ตั้งแต่ -40 ถึง 123.8 °C
4. มีรีเลย์จำนวน 4 ตัว แต่ละตัวสามารถตั้งให้ทำงานเพื่อควบคุมอุณหภูมิ หรือความชื้นสัมพัทธ์ได้แบบอิสระจากกัน
5. อัตราเร็วในการรับส่งข้อมูล 2,400 bps
6. ควบคุมการทำงานได้ทั้งจากปุ่มกดบนบอร์ด หรือควบคุมผ่านทางพอร์ตอนุกรมของเครื่องคอมพิวเตอร์ พร้อมจุดต่อ สำหรับการขยายระบบ
7. สามารถเชื่อมต่อบอร์ดตั้งแต่สอง หรือจำนวนมากกว่านั้น เข้าด้วยกัน เพื่อขยายจำนวนอินพุต/เอาต์พุต ให้ได้จำนวนตามความต้องการ โดยตั้งหมายเลขประจำตัวของบอร์ด (ID) ตั้งแต่หมายเลข 0 ถึงหมายเลข 255
8. มีแอลอีดีแสดงผลการทำงานของบอร์ดที่กำลัง active, แสดงการทำงานของรีเลย์แต่ละตัว และแสดงการส่งข้อมูล
9. มีสวิทช์กด เพื่อควบคุมการทำงานของบอร์ด 4 ตัว
10. แสดงผลทางจอแอลซีดี 2 บรรทัด 16 ตัวอักษรต่อบรรทัด(ตัดออกได้ในกรณีที่ใช้การเชื่อมต่อ และแสดงผลกับคอมพิวเตอร์)

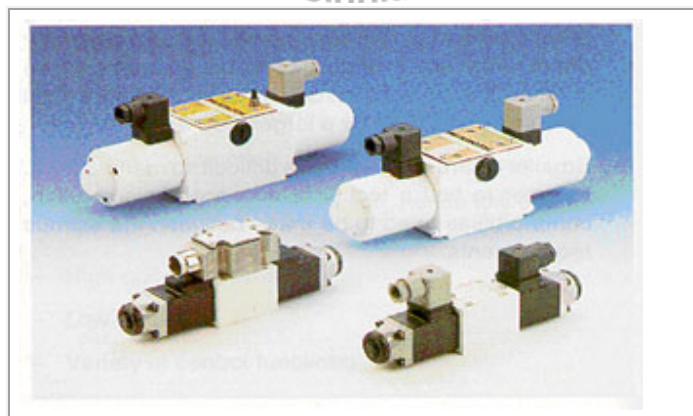
2.4 หลักการทำงานของโซลินอยด์

2.4.1 โซลินอยด์วาล์ว (Solenoid Valve)



รูปที่ 2.5 โซลินอยด์วาล์ว

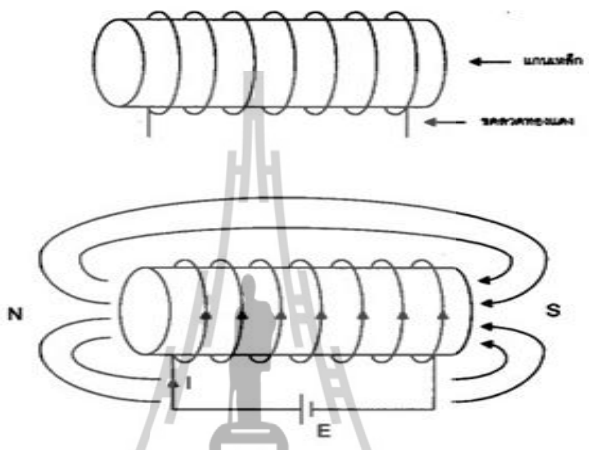
การควบคุมระบบไฮดรอลิกโดยใช้ไฟฟ้านั้น ต้องนำเมนวาล์ว (Main valve) ที่เป็นแบบที่ทำงานโดยใช้ไฟฟ้าควบคุม หรือที่เรียกว่า โซลินอยด์วาล์ว (Solenoid valve) มาใช้



รูปที่ 2.6 แสดงลักษณะของโซลินอยด์วาล์ว

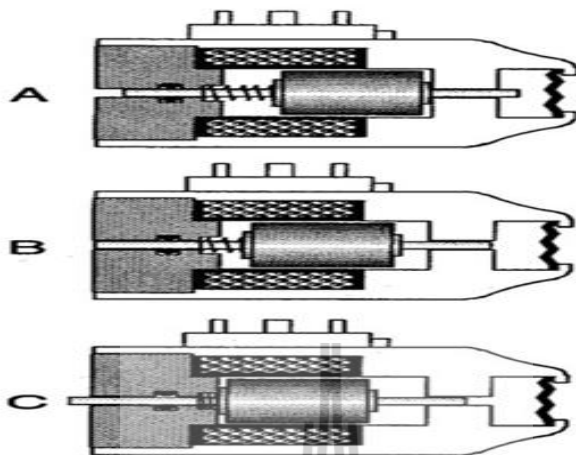
2.4.2 หลักการทำงานของโซลินอยด์ว่าแล้ว

ขดลวดโซลินอยด์ก็คือ ขดลวดที่พันรอบแกนเหล็ก โดยมีวัตถุประสงค์ เพื่อสร้างสนามแม่เหล็ก เมื่อป้อนกระแสไฟฟ้าเข้าที่ขดลวดจะเกิดสนามแม่เหล็กขึ้นรอบขดลวด แล้วรวมตัวกันเป็นสนามแม่เหล็กที่ใหญ่ขึ้น โดยมีทิศทางวิ่งจากขั้ว N ไปขั้ว S



รูปที่ 2.7 ขดลวดแม่เหล็ก

ดังนั้น จากหลักการทำงานของขดลวดโซลินอยด์ เมื่อป้อนกระแสไฟฟ้าเข้าที่ขดลวด จะทำให้เกิดสนามแม่เหล็กขึ้นรอบขดลวด ทำให้เกิด การดูดแกน Armature ซึ่งสามารถเอาชนะแรงสปริงที่คัดแกน Armature ไว้ ทำให้แกน Armature เคลื่อนที่ไปอยู่ตรงกลางของขดลวด ดังแสดงในภาพที่ 2.8



รูปที่ 2.8 สภาวะการทำงานของขดลวดโซลินอยด์

A สภาวะปกติ (ไม่ป้อนกระแสไฟฟ้าเข้าขดลวดโซลินอยด์)

B สภาวะทำงาน (ระหว่างป้อนกระแสไฟฟ้าเข้าขดลวดโซลินอยด์)

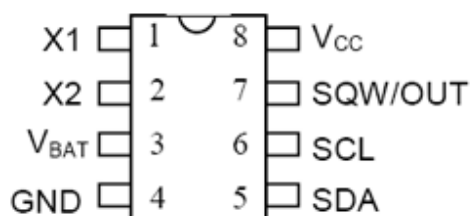
C สภาวะสุดท้าย (ป้อนกระแสไฟฟ้าเข้าขดลวดโซลินอยด์)

2.5 การใช้งาน RTC (Real Time Clock) ด้วย DS1307

ระบบฐานเวลา เป็นสิ่งสำคัญที่สามารถนำไปใช้ในอุปกรณ์อิเล็กทรอนิกส์ได้หลากหลาย ภายในไมโครคอนโทรลเลอร์เองก็มีไทมเมอร์เพื่อใช้ในการจับเวลา หรือนำไปใช้เป็นฐานเวลาจริงได้เช่นกัน แต่เนื่องจากไมโครคอนโทรลเลอร์สามารถทำงานได้ต่อเมื่อมีไฟเลี้ยงเท่านั้น ดังนั้นการใช้ไทมเมอร์ของไมโครคอนโทรลเลอร์ สร้างฐานเวลาจริงจึงไม่เหมาะสมในบางแอปพลิเคชัน

DS1307 เป็น IC ฐานเวลาของดัลลัสเซมิคอนดักเตอร์ (Dallas semiconductor) มีบัสรับส่งข้อมูลแบบ I2C ซึ่งเป็นแบบ 2 wire สามารถสื่อสารได้ 2 ทิศทาง (bi.direction bus) ฐานเวลาของ DS1307 นั้นสามารถ เก็บข้อมูล วินาที, นาที, ชั่วโมง, วัน, วันที่, เดือน และปี ได้ ระบบเวลาสามารถทำงานโหมดรูปแบบ 24 ชั่วโมง หรือ 12 ชั่วโมง AM/PM ก็ได้ ภายมีระบบตรวจจับแหล่งจ่ายไฟ โดยถ้าแหล่งจ่ายไฟหลักถูกตัดไป DS1307 สามารถสวิตช์ไปใช้ไฟจากแบตเตอรี่ และทำงานต่อไป โดยที่ยัง

สามารถรักษาข้อมูลไว้ได้ โครงสร้างมีขาทั้งหมด 8 ขาดังแสดงในรูปที่ 2.9 และมีรายละเอียดการทำงานของขาต่าง ๆ ดังนี้



รูปที่ 2.9 ตำแหน่งขาไอซี RTC DS1307

VCC: ใช้ต่อไฟเลี้ยง +5V

GND: ใช้ต่อกราวด์

VBAT: ใช้ต่อกับแบตเตอรี่ 3V เพื่อรักษาการทำงาน ในกรณีที่ไม่มีไฟเลี้ยงจ่าย

SDA: ขารับส่งข้อมูลด้วยระบบบัส I²C

SCL: ขาสัญญาณนาฬิกาสำหรับการรับส่งข้อมูลด้วยระบบบัส I²C

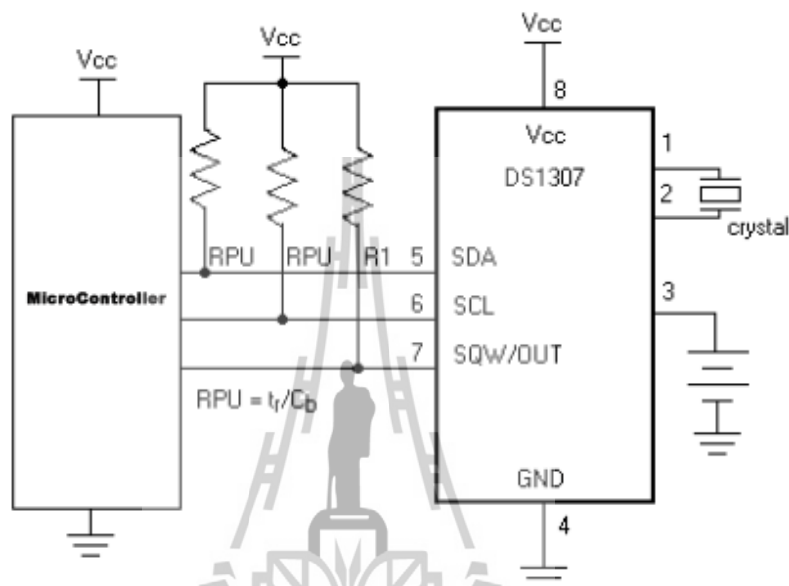
SQW/OUT: ขาเอาต์พุตสัญญาณ Square wave สามารถเลือกความถี่ได้

X1, X2: ใช้ต่อกับคริสตัลความถี่มาตรฐาน 32.768 kHz เพื่อสร้างฐานเวลาจริงให้กับ IC

ระบบบัสข้อมูลแบบ I²C (Inter-IC Communication) ได้ถูกพัฒนาขึ้นโดยบริษัทฟิลิปส์ (Phillips) การรับส่งข้อมูลใช้สายสัญญาณเพียงแค่ 2 เส้น คือสายสัญญาณข้อมูล SDA (Serial Data line) และสายสัญญาณนาฬิกา SCL (Serial Clock line) มีการทำงานเป็นแบบ Master, Slave โดยอุปกรณ์ที่ทำหน้าที่เป็น Master (ไมโครคอนโทรลเลอร์) จะควบคุมการรับส่งข้อมูล และควบคุมสัญญาณนาฬิกาบน SCL ส่วนอุปกรณ์ Slave (DS1307) นั้นจะทำงานภายใต้การควบคุมของอุปกรณ์ Master

การต่อใช้งานร่วมกับไมโครคอนโทรลเลอร์ด้วยระบบบัส I²C นั้นสามารถทำได้โดยต่อตัวต้านทาน Pull up ดังแสดงในรูปที่ 2.10 ในกรณีที่ต้องการต่อร่วมกับอุปกรณ์ Slave หลายตัว ก็สามารถทำได้โดยต่ออุปกรณ์ Slave ขนานกันไป การติดต่อสื่อสารระหว่างอุปกรณ์ Master กับ Slave แต่ละตัว

นั้น จะถูกแยกโดย Address ของอุปกรณ์ Slave ซึ่งจะถูกส่งจากอุปกรณ์ Master ไปยังอุปกรณ์ Slave ก่อนเริ่มการรับส่งข้อมูล



รูปที่ 2.10 การเชื่อมต่อ DS1307 เข้ากับไมโครคอนโทรลเลอร์ด้วยระบบบัสแบบ I²C

2.5.1 การรับส่งข้อมูลแบบ I²C

การรับส่งข้อมูลแบบ I²C นั้นมีข้อกำหนดอยู่ 2 ประการด้วยกันคือ

1. การรับส่งข้อมูลจะเริ่มขึ้นได้เมื่อบัสมีสถานะว่างเท่านั้น
2. ในช่วงที่ทำการรับส่งข้อมูลอยู่ สายสัญญาณ SDA ต้องไม่เปลี่ยนสถานะในช่วงที่ SCL มีสถานะเป็นลอจิก “1” ถ้า SDA มีการเปลี่ยนสถานะในช่วงที่ SCL เป็นลอจิก “1” จะถือว่าเป็นสัญญาณควบคุมการรับส่งข้อมูล

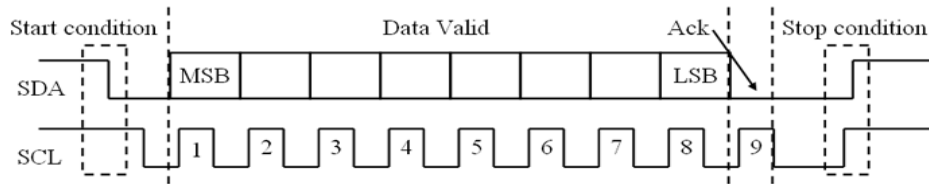
2.5.2 สถานะของการรับส่งข้อมูลแบบ I²C

สถานะของการรับส่งข้อมูลแบบ I²C สามารถแบ่งออกได้เป็น 5 สถานะด้วยกันดังแสดงในรูปที่ 2.11 และมีรายละเอียดดังนี้

1. สถานะว่าง (Bus not busy): สัญญาณ SDA และ SCL มีระดับสัญญาณเป็น High
2. เริ่มส่งข้อมูล (Start data transfer): มีการเปลี่ยนระดับสัญญาณของ SDA จาก High เป็น Low ในขณะที่ SCL มีระดับสัญญาณเป็น High ค้างไว้
3. หยุดส่งข้อมูล (Stop data transfer): มีการเปลี่ยนระดับสัญญาณของ SDA จาก Low เป็น High ในขณะที่ SCL มีระดับสัญญาณเป็น High ค้างไว้
4. รับส่งข้อมูล (Data valid): มีการรับส่งข้อมูลผ่านสายสัญญาณ SDA โดยข้อมูลแต่ละบิตจะถูกส่งในช่วงที่ SCL มีระดับเป็น High โดยในช่วงที่ SCL มีสถานะเป็น High อยู่ SDA จะต้องไม่เกิดการเปลี่ยนระดับสัญญาณ

SDA จะเปลี่ยนระดับของสัญญาณ ในช่วงที่ SCL มีระดับสัญญาณเป็น Low เท่านั้น ตามมาตรฐานการส่งข้อมูล แบบ I²C นี้สามารถส่งข้อมูลด้วยความถี่สัญญาณนาฬิกาสูงสุด 100 kHz ที่โหมดการทำงานธรรมดา และ 400 kHz ที่โหมดการทำงานแบบเร็ว แต่สำหรับ DS1307 สามารถทำงานได้ในโหมดธรรมดาเท่านั้น

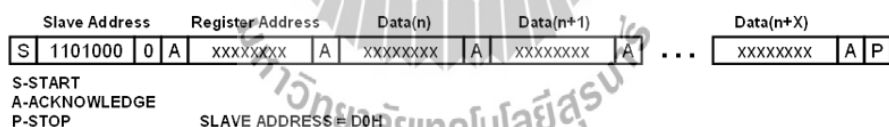
ตอบรับ (Acknowledge): เกิดขึ้นหลังจากที่มีการรับส่งข้อมูลครบแล้ว โดยอุปกรณ์ Master ต้องสร้างสัญญาณ Clock บน SCL เพิ่มอีกลูก อุปกรณ์ที่เป็นตัวรับข้อมูลจะดึงระดับสัญญาณบน SDA ให้เป็น Low เพื่อให้ตัวส่งรับรู้ว่าตัวรับได้รับข้อมูลครบแล้ว



รูปที่ 2.11 การรับส่งข้อมูลผ่านบัส I²C

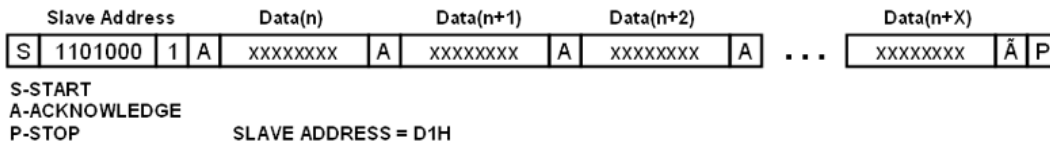
ในการรับส่งข้อมูลผ่านบัส I²C อุปกรณ์ Master จะเป็นผู้สร้างสัญญาณ Clock บน SDA และเป็นตัวควบคุมสถานะ Start และ Stop เพื่อควบคุมการรับส่งข้อมูลทั้งหมด

การส่งข้อมูลไปยังอุปกรณ์ DS1307 ดังแสดงในรูปที่ 2.12 ไมโครคอนโทรลเลอร์ต้องสร้างสถานะ Start ก่อน จากนั้นต้องส่ง Address ของ DS1307 ขนาด 7 บิตซึ่งมีค่าเป็น 1101000 และตามด้วยบิตระบุทิศทางของข้อมูล ในกรณีที่เป็นกรเขียนข้อมูลลง DS1307 จะต้องเป็น “0” จากนั้นไมโครคอนโทรลเลอร์จะต้องส่งตำแหน่ง Address ภายในรีจิสเตอร์ของ DS1307 ที่ต้องการเขียนข้อมูลลง แล้วจึงค่อยเขียนข้อมูลลง โดยในการส่งข้อมูลแต่ละไบต์จะต้องรอบิต Ack จาก DS1307 ทุกไบต์เมื่อส่งจนครบแล้ว ถึงจะสร้างสถานะ Stop เพื่อกลับสู่สถานะว่าง



รูปที่ 2.12 การเขียนข้อมูลอุปกรณ์ Slave ผ่านบัส I²C

การรับข้อมูลจากอุปกรณ์ Slave ดังแสดงในรูปที่ 2.13 เริ่มแรกไมโครคอนโทรลเลอร์ต้องสร้างสถานะ Start ก่อน จากนั้นต้องส่ง Address ของ DS1307 ขนาด 7 บิตซึ่งมีค่าเป็น 1101000 และตามด้วยบิตระบุทิศทางของข้อมูล ในกรณีที่เป็นกรอ่านข้อมูลจาก DS1307 จะต้องเป็น “1” จากนั้นจึงค่อยรับข้อมูลจากอุปกรณ์ Slave ทีละไบต์ โดยตำแหน่งที่อ่านเข้ามาจะขึ้นอยู่กับตำแหน่งรีจิสเตอร์พอยน์เตอร์ ซึ่งจะเป็ตำแหน่งท้ายสุดที่ได้ทำการเขียนข้อมูลไว้ เมื่ออ่านข้อมูลครบแต่ละไบต์อุปกรณ์ Master ต้องส่ง Acknowledge บิตกลับไปให้อุปกรณ์ Slave ด้วย ในกรณีที่เป็ไบต์สุดท้าย อุปกรณ์ Master ต้องส่ง “not acknowledge” กลับไป



รูปที่ 2.13 การอ่านข้อมูลจากอุปกรณ์ Slave ผ่านบัส I²C

ภายใน DS1307 มีรีจิสเตอร์ภายในใช้เก็บข้อมูลเวลาขนาด 7 ไบต์ 00H.06H ดังแสดงในรูปที่ 2.14 ข้อมูลค่าเวลา และวันที่จะถูกเก็บอยู่ในรูปของเลขฐาน 10 สามารถเลือกได้ว่าให้ทำงานแบบ 12 ชั่วโมง หรือ 24 ชั่วโมง โดยกำหนดที่บิตที่ 6 ที่แอดเดรส 02H โดยถ้าเป็น “1” จะเป็นการทำงานในโหมด 12 ชั่วโมง และเมื่อเลือกแบบ 12 ชั่วโมง ที่บิต 5 ในแอดเดรส 02H นั้นจะใช้แสดงค่า AM/PM โดยถ้าบิตนี้เป็น “1” จะเป็น PM ในกรณีที่แสดงแบบ 24 ชั่วโมง บิตนี้จะใช้ในการแสดงค่าของหลักสิบในของหน่วยชั่วโมงด้วย

| | BIT 7 | | | | | | | BIT 0 |
|-----|---------|------------|-------------|----------|---------|------|-------|----------------|
| 00H | CH | 10 SECONDS | | | SECONDS | | | 00-59 |
| | 0 | 10 MINUTES | | | MINUTES | | | 00-59 |
| | 0 | 12 / 24 | 10 HR / A/P | 10 HR | HOURS | | | 01-12 00-23 |
| | 0 | 0 | 0 | 0 | 0 | DAY | | 1-7 |
| | 0 | 0 | 10 DATE | | | DATE | | |
| | 0 | 0 | 0 | 10 MONTH | MONTH | | | 01-12 |
| | 10 YEAR | | | YEAR | | | 00-99 | |
| 07H | OUT | 0 | 0 | SQWE | 0 | 0 | RS1 | RS0 |

รูปที่ 2.14 รีจิสเตอร์ภายในไอซีฐานเวลา DS1307

ที่แอดเดรส 07H เป็นรีจิสเตอร์ควบคุมการทำงานของ SQW/OUT โดยมีรายละเอียดดังนี้

OUT (Out control): ใช้ควบคุมเอาต์พุต

SQWE (Square Wave Enable): ใช้ควบคุมออสซิลเลเตอร์ภายใน DS1307 โดยถ้าบิตนี้เป็น “1” จะเป็นการเปิดออสซิลเลเตอร์

RS (Rate Select): ใช้ควบคุมความถี่ของ Square Wave เมื่อเปิดการทำงานของออสซิลเลเตอร์ โดยสามารถปรับเปลี่ยนความถี่ได้ 4 ความถี่ด้วยกันดังแสดงในตารางที่ 2.1

ตารางที่ 2.1 การควบคุมความถี่ออสซิลเลเตอร์ด้วยการเซตบิต RS1, RS0

| RS1 | RS0 | SQW OUTPUT FREQUENCY |
|-----|-----|----------------------|
| 0 | 0 | 1 Hz |
| 0 | 1 | 4.096 kHz |
| 1 | 0 | 8.192 kHz |
| 1 | 1 | 32.768 kHz |

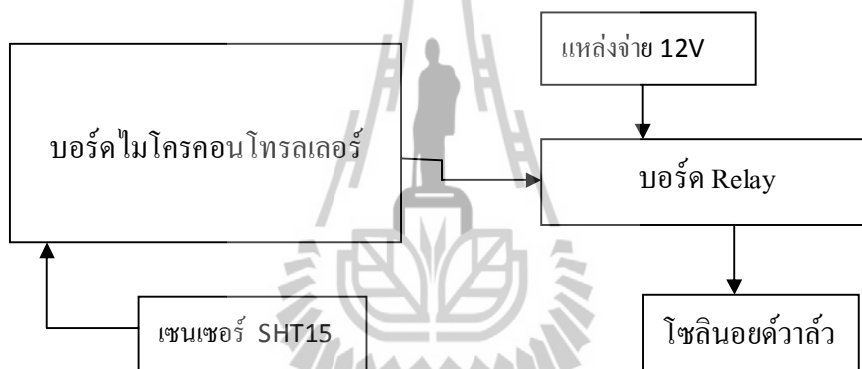
บทที่ 3

การออกแบบ

3.1 บทนำ

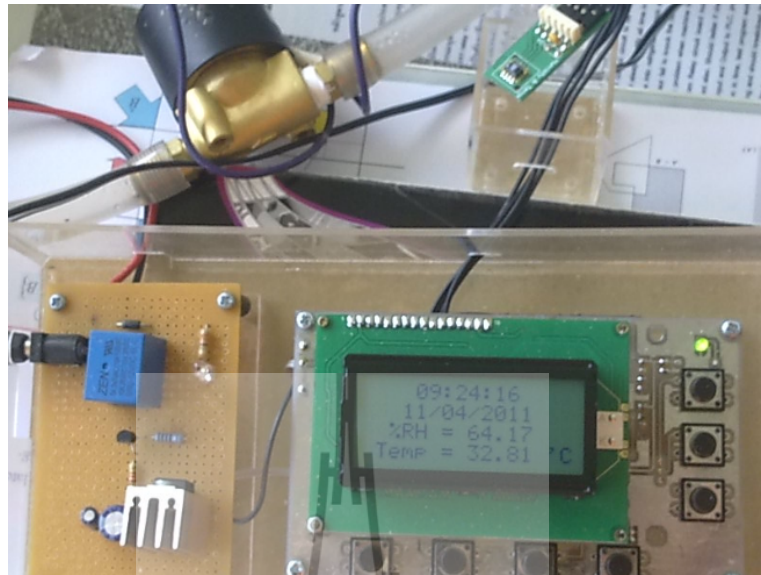
ในบทนี้จะกล่าวถึงการออกแบบเครื่องรดน้ำต้นไม้อัตโนมัติ ซึ่งแบ่งออกเป็น 2 หัวข้อ คือ การออกแบบ Hardware และ การออกแบบ Software มีการทำงานดังนี้

3.2 การออกแบบ Hardware



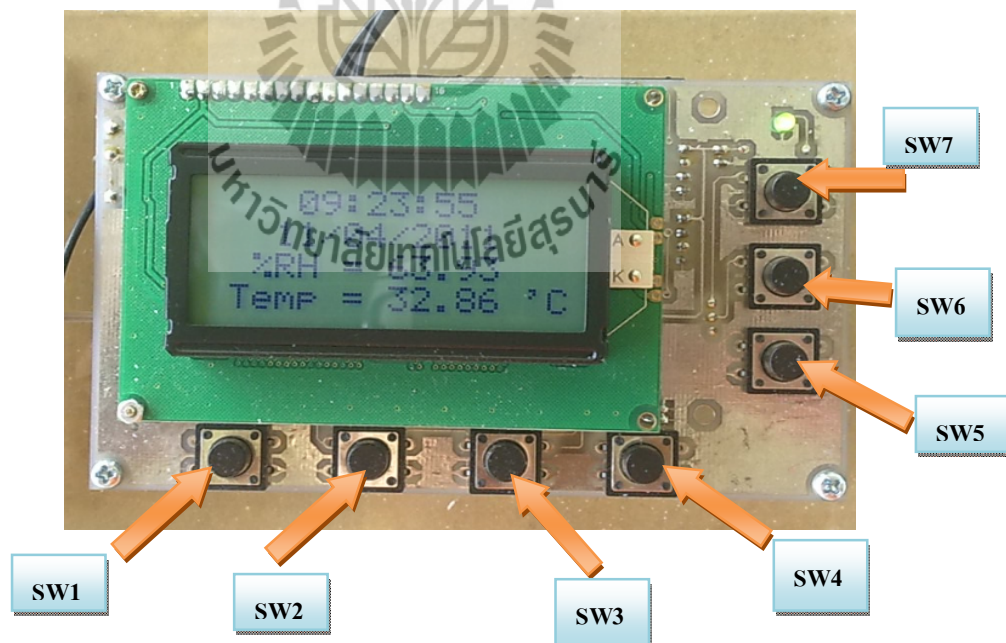
รูปที่ 3.1 ระบบเครื่องรดน้ำต้นไม้อัตโนมัติ

จากรูปที่ 3.1 เป็นแผนภาพการทำงานของเครื่องรดน้ำต้นไม้อัตโนมัติโดยมีหลักการคือสามารถตั้งเวลารดน้ำต้นไม้ได้ และสามารถรดน้ำได้เองได้ เมื่อความชื้นที่เซนเซอร์ SHT15 วัดได้ขณะนั้นมีค่าน้อยกว่าค่าความชื้นที่เรา set ไว้ โดยเมื่อถึงเวลาที่เรที่ตั้งไว้หรือเมื่อค่าความชื้นที่วัดได้มีค่าน้อยกว่าค่าที่ set ไว้ บอร์ดไมโครคอนโทรลเลอร์จะทำการสั่งให้โซลินอยด์วาล์วเปิดเพื่อรดน้ำต้นไม้ และสั่งให้โซลินอยด์วาล์วปิด เมื่อผ่านการรดน้ำไปแล้ว 5 นาที โดยมีบอร์ดวงจร Relay ที่ใช้ในการขับโซลินอยด์วาล์วโดยป้อนไฟ 12 V(dc) ให้กับบอร์ดวงจร Relay



รูปที่ 3.2 เครื่องรดน้ำต้นไม้อัตโนมัติ

จากรูปที่ 3.2 เป็นภาพวงจรสมบูรณ์ของเครื่องรดน้ำต้นไม้อัตโนมัติ



รูปที่ 3.3 สวิตซ์การใช้งานเครื่องรดน้ำต้นไม้อัตโนมัติ

จากรูปที่ 3.3 เป็นการแสดงสวิทช์การใช้งานเครื่องรดน้ำต้นไม้อัตโนมัติ โดยมีการใช้งานเป็นดังนี้

สวิทช์หมายเลข 1 ทำหน้าที่ ตั้งค่าวันเวลาจริงและทำหน้าที่เก็บข้อมูลวันและเวลาที่เราเปลี่ยนแก้ไขได้

อย่างอัตโนมัติ

สวิทช์หมายเลข 2 ทำหน้าที่ เซตค่าความชื้น เวลาในการทดลอง

สวิทช์หมายเลข 3 ไม่มีหน้าที่ในวงจร

สวิทช์หมายเลข 4 ทำหน้าที่ เลื่อนเวลา ชั่วโมง, นาที, วินาที และสามารถตั้งค่าเวลาตามความ

เหมาะสม

สวิทช์หมายเลข 5 ทำหน้าที่ เลื่อนขึ้นเวลาการปรับความชื้น เวลา และการตั้งค่าเวลาที่จะทำการทดลอง

และยังทำหน้าที่ในการเปิด solenoid valve ไว้ชั่วคราว ตอนที่ยังไม่ได้ทำการเซตเวลาการ

ทดลอง

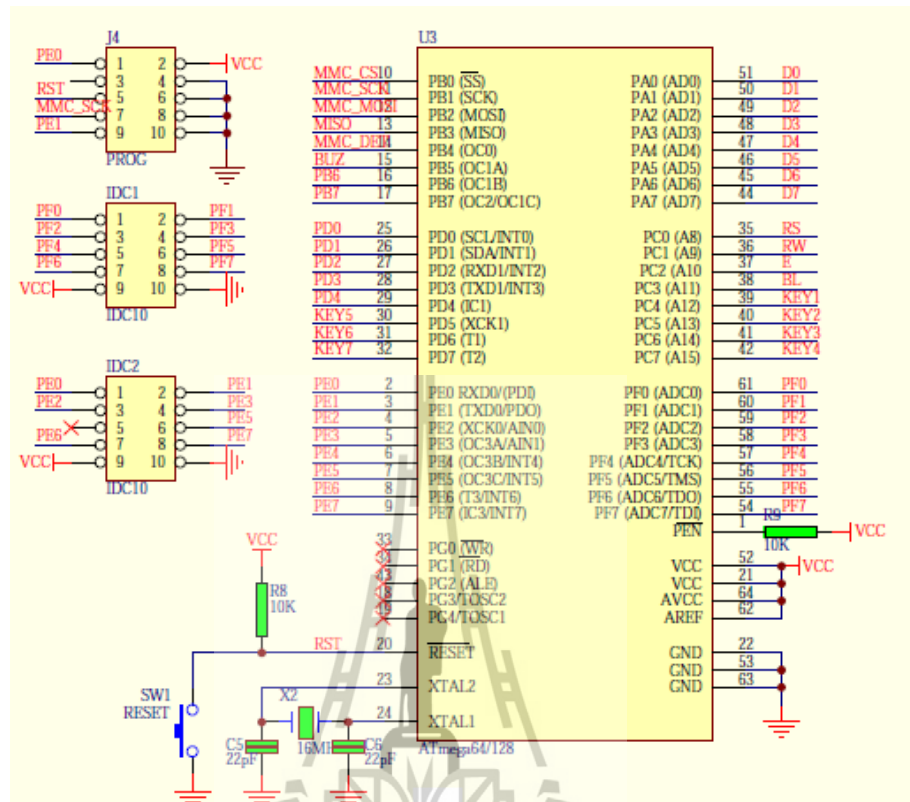
สวิทช์หมายเลข 6 ทำหน้าที่ เลื่อนลงเวลาการปรับความชื้น เวลา และการตั้งค่าเวลาที่จะทำการทดลอง

และยังทำหน้าที่ในการปิด solenoid valve ไว้ชั่วคราว ตอนที่ยังไม่ได้ทำการเซตเวลาการ

ทดลอง

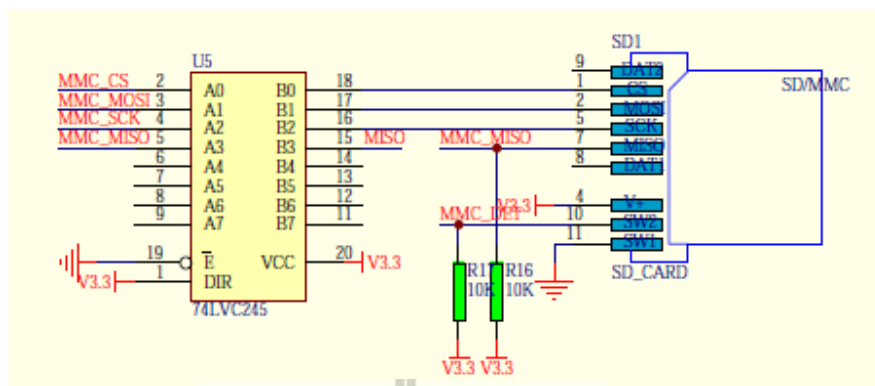
สวิทช์หมายเลข 7 ทำหน้าที่ เคลียร์ค่าทั้งหมด ปิดสวิทช์ solenoid valve ถาวร แล้วทำการเริ่มการตั้ง

โปรแกรมใหม่



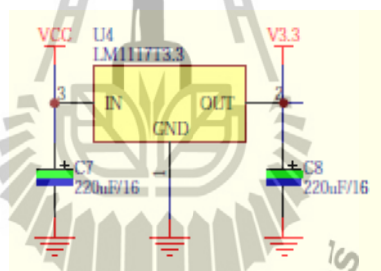
รูปที่ 3.5 วงจรการใช้งาน ATmega128

จากรูปที่ 3.5 เป็นการแสดงการต่อของ IC ATmega128, ว่าขาใดต่อ port ใด มีหน้าที่ในการใช้เขียนคำสั่งต่างๆ เพื่อส่งไปยังส่วนต่างๆ ซึ่งถือว่าเป็นหัวใจสำคัญของบอร์ดไมโครคอนโทรลเลอร์เลยก็ว่าได้



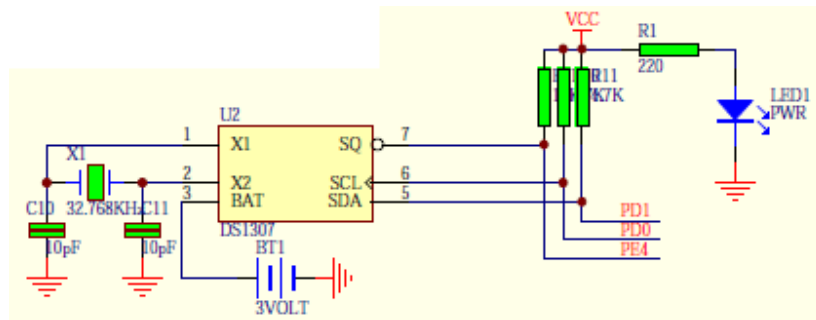
รูปที่ 3.6 วงจรการใช้งาน IC 74LVC245

จากรูปที่ 3.6 เป็นการแสดงการต่อของ IC 74LVC245 มีหน้าที่ เป็น Buffer



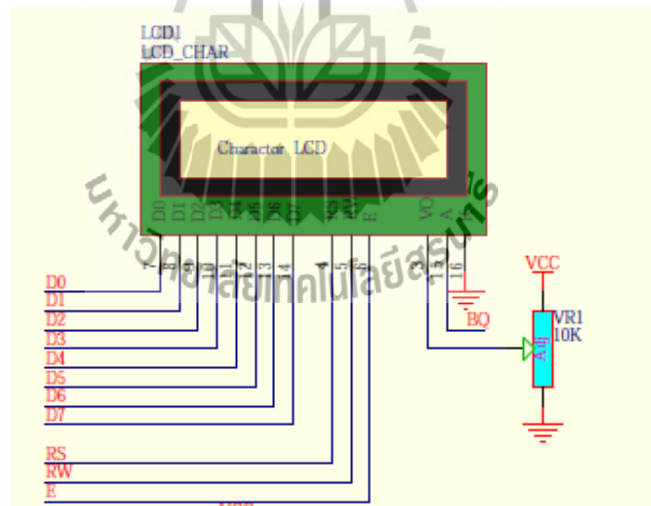
รูปที่ 3.7 วงจรการใช้งาน LM1117T3.3

จากรูปที่ 3.7 เป็นการต่อของ LM 1117T3.3 ซึ่งมีหน้าที่ ลดระดับแรงดันจาก 5 V ให้เหลือแรงดัน 3.3 V เพื่อใช้เลี้ยงวงจรและจ่ายให้กับทรานซิสเตอร์เบอร์ 2N4403 ซึ่งทำให้เกิดเสียง



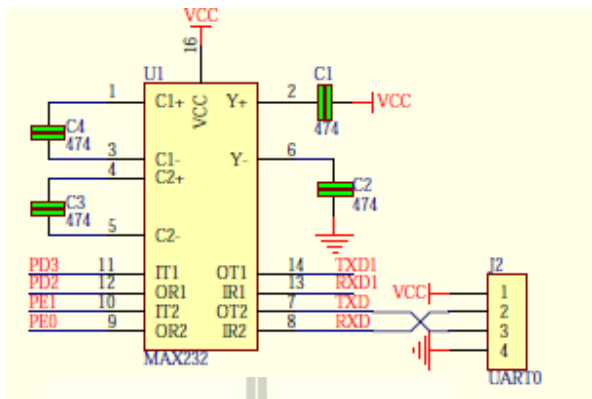
รูปที่ 3.8 วงจรการใช้งาน DS1307

จากรูปที่ 3.8 เป็นการต่อของ IC DS1307 ซึ่งมีหน้าที่เป็น Real.time clock (RTC) เพื่อแสดงวันที่ ที่เป็นปัจจุบันถึงแม้ว่าเราจะปิดเครื่องหรือเปิดเครื่องใหม่ก็ไม่ต้องตั้งเวลาอีกครั้งและมีแบตเตอรี่เป็น back up ด้วย



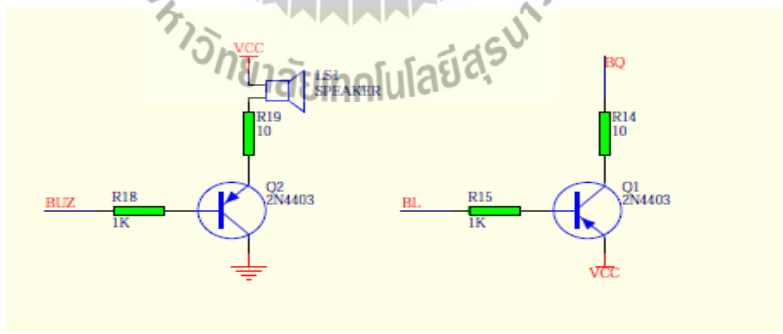
รูปที่ 3.9 วงจรการใช้งาน LCD

จากรูปที่ 3.9 เป็นการต่อของ LCD ซึ่งมีหน้าที่ แสดงผลต่างๆ บนหน้าจอแสดงผล เช่น วันที่ , เวลา , อุณหภูมิ และ ความชื้น



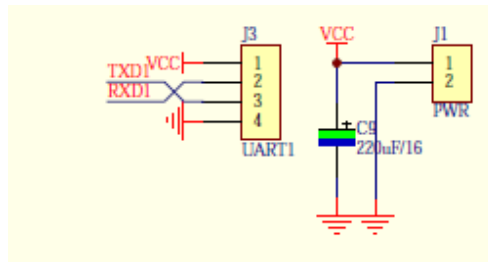
รูปที่ 3.10 วงจรการใช้งาน MAX232

จากรูปที่ 3.10 เป็นการต่อของ IC MAX 232 เป็น IC ปรับแรงดัน มีหน้าที่ในการรับส่งข้อมูลแบบอนุกรม (Serial) ระหว่างอุปกรณ์ TTL/CMOS กับ port RS-232 โดยมีช่องทางในการรับข้อมูลแบบอนุกรม 2 ช่องทาง โครงสร้างภายในของ IC MAX 232 ยังมีวงจรทวีแรงดัน (Voltage doubler) และวงจรอินเวอร์สแรงดัน (Voltage inverter) วงจรทั้งสองทำหน้าที่หลัก คือ ขยายสัญญาณก่อนที่จะส่งออกไปยัง port RS-232



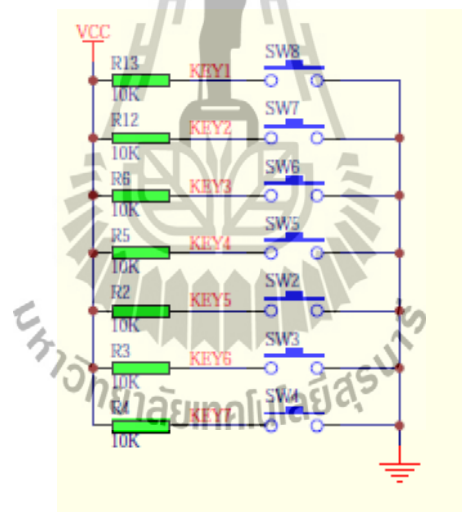
รูปที่ 3.11 วงจรการใช้งาน 2N4403

จากรูปที่ 3.11 เป็นการต่อของทรานซิสเตอร์ เบอร์ 2N4403 ซึ่งมีหน้าที่ ทำให้เกิดเสียงเตือนเมื่อถึงเวลาที่รดน้ำต้นไม้ และเมื่อรดน้ำต้นไม้เสร็จแล้ว



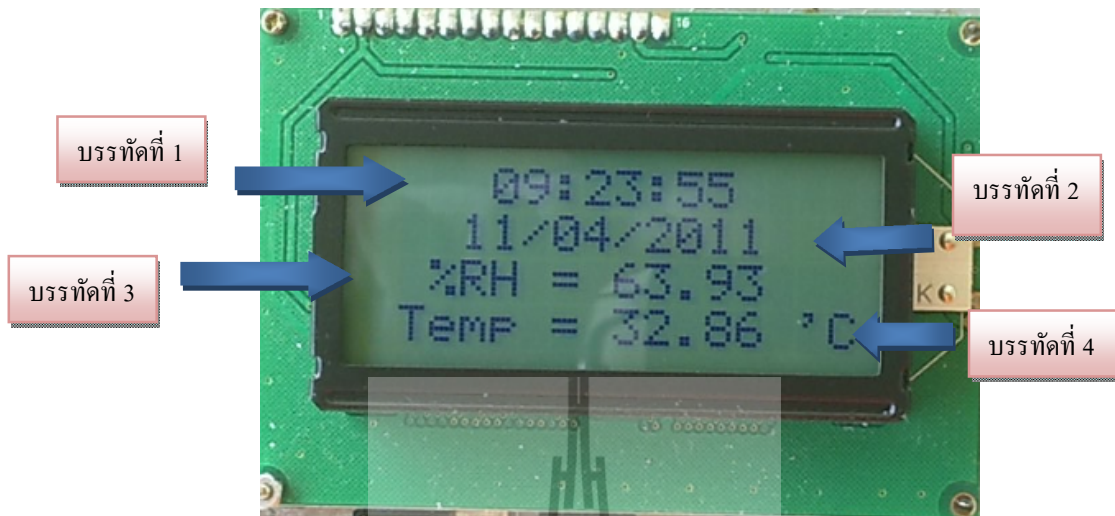
รูปที่ 3.12 วงจรการใช้งาน ไฟเลี้ยง 5 V

จากรูปที่ 3.12 เป็นการต่อ port แหล่งจ่ายให้กับไมโครคอนโทรลเลอร์ซึ่งได้มาจากการแปลงไฟ 12 V จากบอร์ดวงจร Relay เป็นไฟ 5V



รูปที่ 3.13 วงจรการใช้งาน Switch

จากรูปที่ 3.13 เป็นการออกแบบ Switch ที่จะใช้ในการกดปุ่มเพื่อตั้งค่าเวลา , วันที่ , และตั้งเวลาเพื่อรดน้ำต้นไม้



รูปที่ 3.14 การแสดงผลที่หน้าจอ LCD

จากรูปที่ 3.14 เป็นการแสดงผลที่หน้าจอ LCD เมื่อพร้อมใช้งานโดยหน้าจอ LCD จะแสดงผลดังนี้

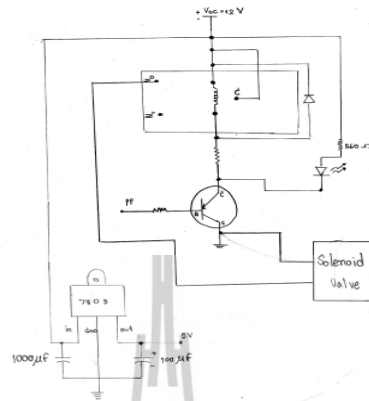
บรรทัดที่ 1 แสดง วัน:วัน/เดือน/ปี

บรรทัดที่ 2 แสดง เวลา: ชั่วโมง : นาที : วินาที

บรรทัดที่ 3 แสดง ค่าความชื้น : %RH = ?

บรรทัดที่ 4 แสดง ค่าอุณหภูมิ: Temp = ?

3.2.2 การออกแบบ Relay และ โซลินอยด์วาล์ว



รูปที่ 3.15 วงจร Relay ขับ โซลินอยด์วาล์ว

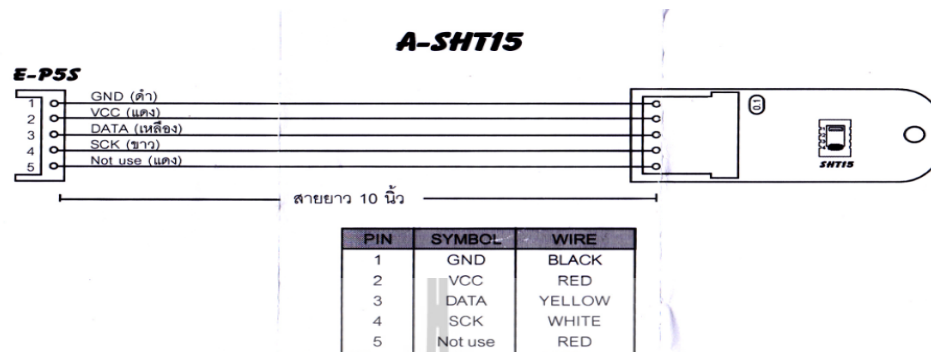
จากรูปที่ 3.15 เป็นการออกแบบวงจร Relay เพื่อใช้ในการขับ โซลินอยด์วาล์ว โดยใช้ไฟ 12 V(dc) และมี Regulator เบอร์ 7805 เพื่อแปลงไฟ 12 V(dc) เป็นไฟ 5 V(dc) เพื่อจ่ายให้กับบอร์ด ไมโครคอนโทรลเลอร์



รูปที่ 3.16 บอร์ด Relay ต่อกับ โซลินอยด์วาล์ว

จากรูปที่ 3.16 เป็นรูปวงจรของบอร์ด Relay เมื่อต่อเสร็จแล้ว ต่อเข้ากับ โซลินอยด์วาล์ว

3.2.3 การออกแบบ เซนเซอร์ SHT15



รูปที่ 3.17 วงจร เซนเซอร์ SHT15

จากรูปที่ 3.17 เป็นการแสดงการต่อของ เซนเซอร์ SHT 15 และมีสายเชื่อมต่อไปยังบอร์ดไมโครคอนโทรลเลอร์ ซึ่งมีหน้าที่วัดความชื้นและอุณหภูมิ

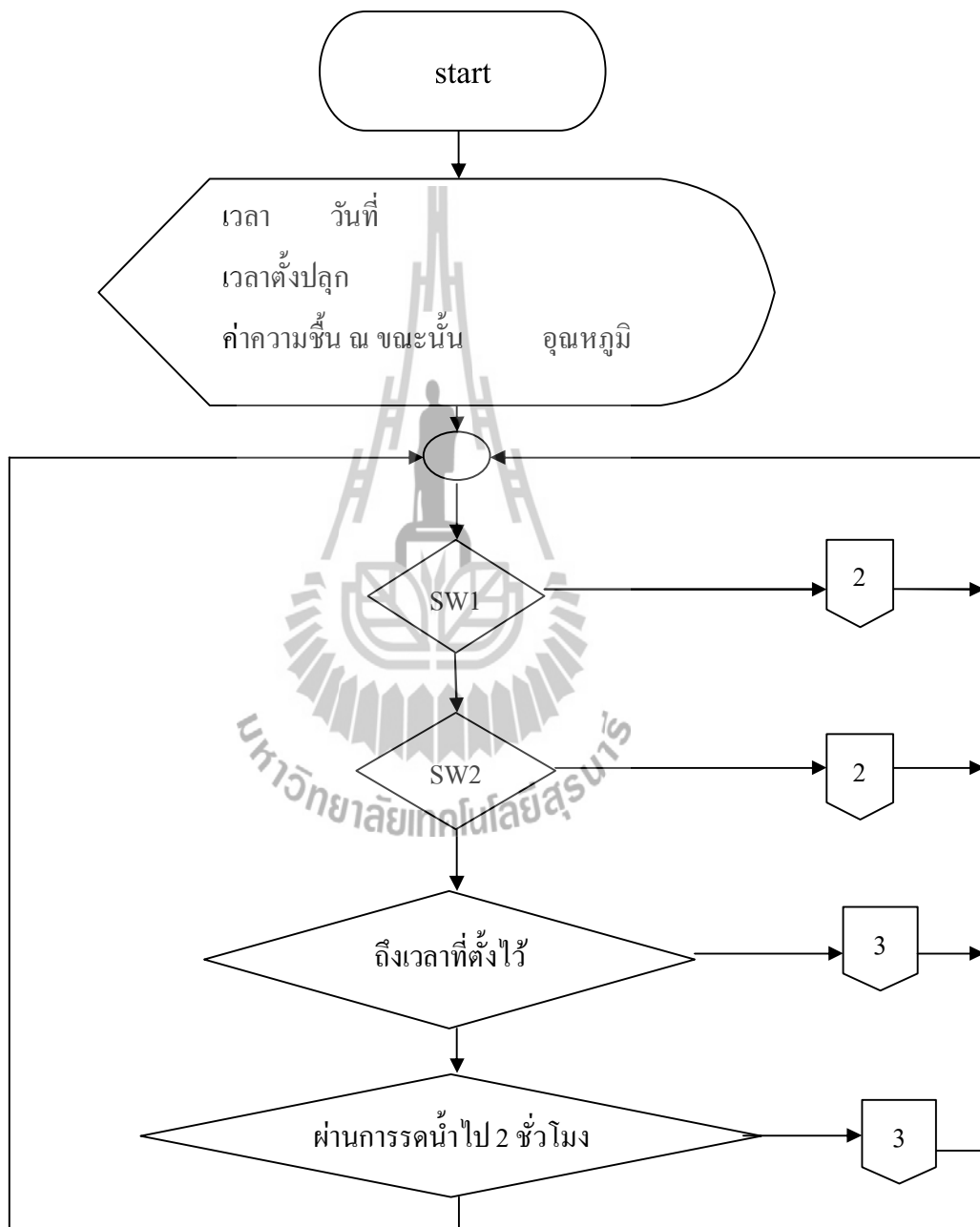


รูปที่ 3.18 เซนเซอร์ SHT15

จากรูปที่ 3.18 เป็นรูป เซนเซอร์ SHT15 ที่ต่อเสร็จแล้ว สามารถนำไปใช้วัดความชื้น และอุณหภูมิได้เลย

3.3 การออกแบบ Software

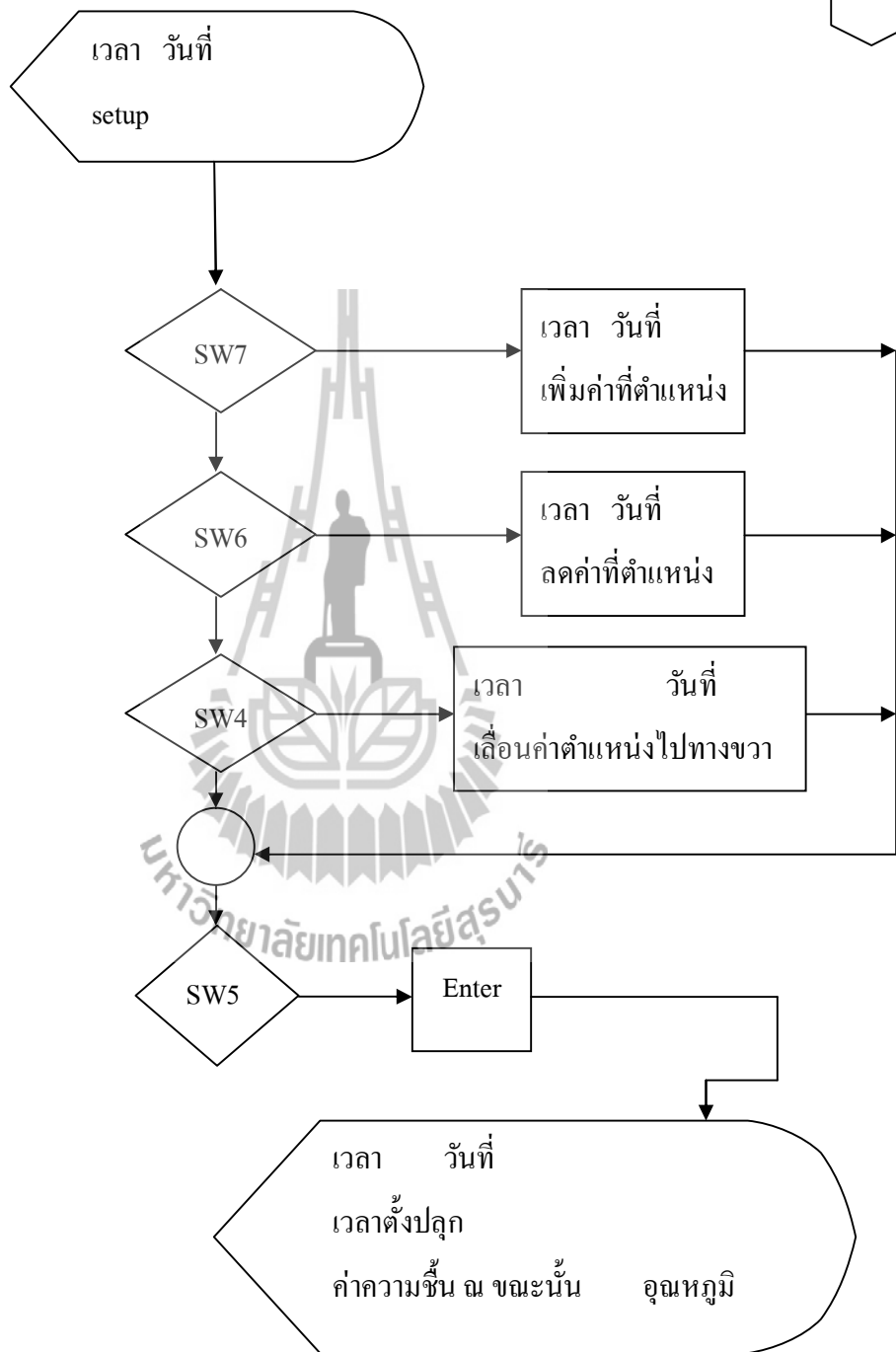
3.3.1 Flow chat



รูปที่ 3.19 แผนภาพการทำงานของเครื่องรดน้ำต้นไม้

จากรูปที่ 3.19 สามารถอธิบายลำดับขั้นตอนการทำงานของเครื่องรดน้ำต้นไม้อัตโนมัติ เป็นดังนี้ เมื่อเปิดเครื่องหน้าจอแสดงผลจะแสดง เวลา วันที่ เวลาที่ตั้งปลุก ค่าความชื้น และอุณหภูมิ จากนั้นถ้าเรากดสวิตช์หมายเลข 1 เราจะสามารถตั้งเวลาที่แท้จริง และวันที่จริงได้ สวิตช์หมายเลข 2 จะเป็นการตั้งค่าความชื้น และเลือกที่จะรดน้ำกี่ครั้ง เมื่อถึงเวลาที่เรที่ตั้งไว้แล้ว เครื่องรดน้ำต้นไม้อัตโนมัติจะรดน้ำต้นไม้ แต่ถ้าเรารดน้ำต้นไม้ไปแล้วค่าความชื้นที่วัดได้ยังมีค่าน้อยกว่าค่าที่ตั้งไว้ เครื่องรดน้ำต้นไม้อัตโนมัติจะทำการรดน้ำต้นไม้ต่อไปเรื่อยๆ แต่ถ้าหากตรวจสอบแล้วพบว่า เพียงผ่านการรดน้ำต้นไม้ไปเมื่อ 2 ชั่วโมงที่ผ่านมา เครื่องจะไม่รดน้ำต้นไม้ เพื่อเป็นการประหยัดน้ำอีกด้วย





รูปที่ 3.20 แผนภาพฟังก์ชันการตั้งเวลาของเครื่องรดน้ำต้นไม้

จากรูปที่ 3.20 สามารถอธิบายลำดับขั้นตอนการทำงานในการตั้งเวลา วันที่ และเวลาที่ใช้ในการตั้งปลุกเตือนรดน้ำต้นไม้ได้ดังนี้

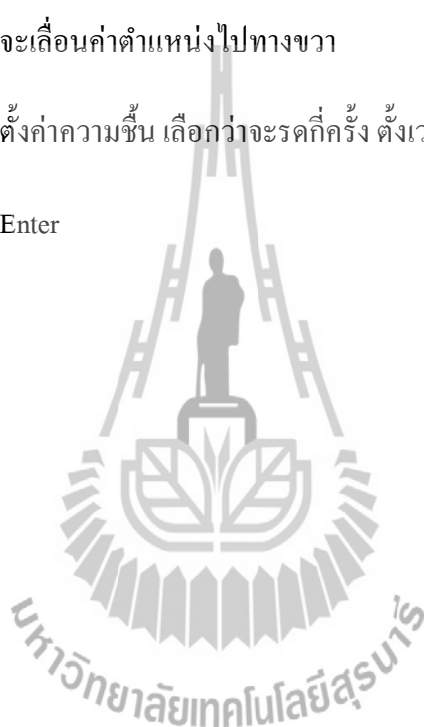
ถ้าเรากดสวิตช์หมายเลข 7 จะเพิ่มค่าที่ตำแหน่งนั้นๆ

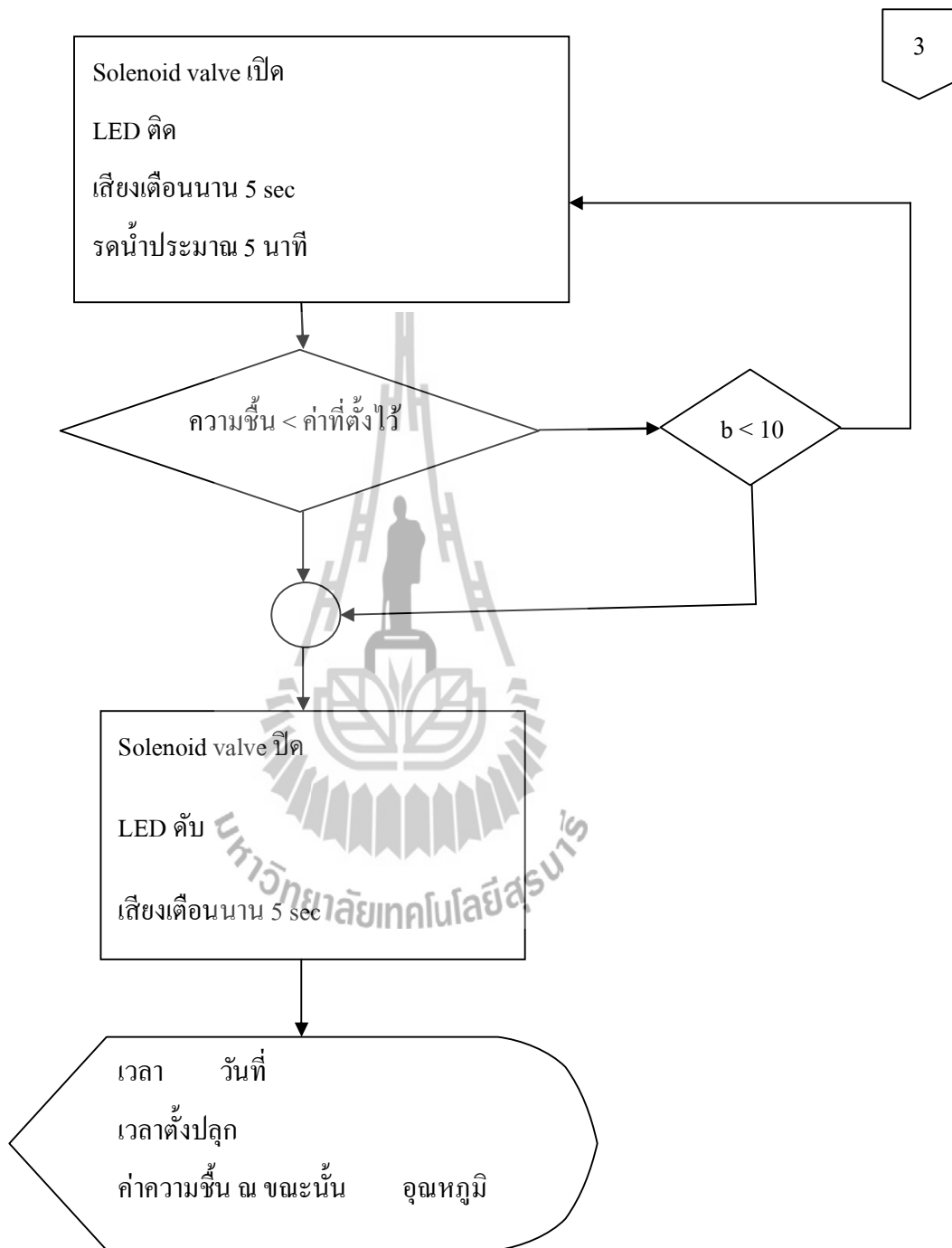
ถ้าเรากดสวิตช์หมายเลข 6 จะลดค่าที่ตำแหน่งนั้นๆ

ถ้าเรากดสวิตช์หมายเลข 4 จะเลื่อนค่าตำแหน่งไปทางขวา

ถ้าเรากดสวิตช์หมายเลข 2 ตั้งค่าความชื้น เลือกว่าจะรดกี่ครั้ง ตั้งเวลาในการรดน้ำต้นไม้

ถ้าเรากดสวิตช์หมายเลข 5 Enter





รูปที่ 3.21 แผนภาพฟังก์ชันการรดน้ำต้นไม้ของเครื่องรดน้ำต้นไม้

จากรูปที่ 3.21 สามารถอธิบายลำดับขั้นตอนการทำงานในการรดน้ำต้นไม้ เมื่อถึงเวลาที่ตั้งไว้ หรือเมื่อค่าความชื้นที่วัดได้มีค่าน้อยกว่าค่าที่ตั้งไว้ โซลินอยด์วาล์ว จะเปิด LED จะติด มีเสียงเตือน เมื่อรดน้ำต้นไม้ และเมื่อเวลาผ่านไป 5 นาที โซลินอยด์วาล์ว จะปิด LED จะดับ มีเสียงเตือน แสดงว่าหยุดรดน้ำต้นไม้



บทที่ 4

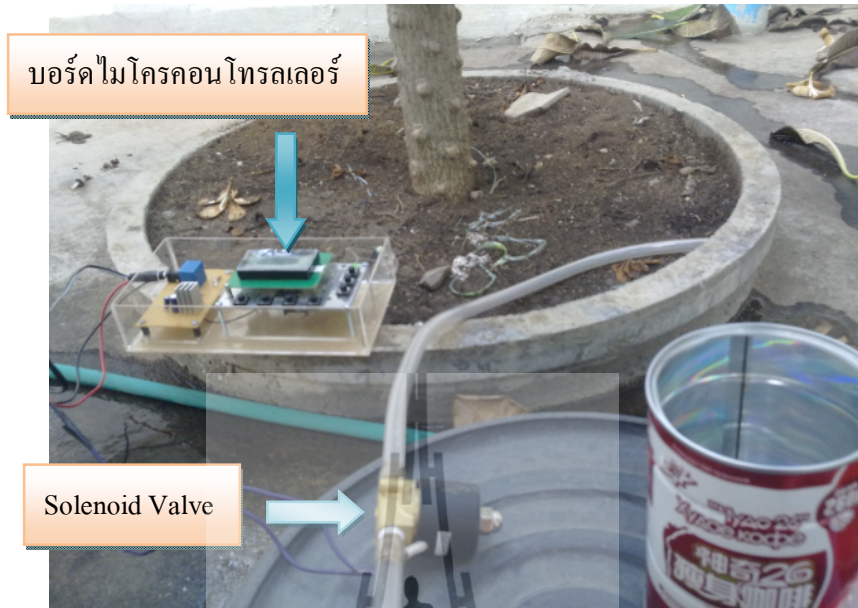
ผลการทดลอง

4.1 บทนำ

ในบทนี้เราจะกล่าวถึง การทดสอบเก็บข้อมูลค่าความชื้นเพื่อนำไปหาค่าเฉลี่ยและทดสอบการทำงานของเครื่องรดน้ำต้นไม้อัตโนมัติ เมื่อตั้งเวลาไว้และเมื่อกำหนดระดับความชื้นไว้



รูปที่ 4.1 แสดงวิธีการทดสอบวัดค่าความชื้น และอุณหภูมิ



รูปที่ 4.2 การทดลองรดน้ำต้นไม้



รูปที่ 4.3 บริเวณที่ทำการทดลอง

4.2 การวัดค่าความชื้นและอุณหภูมิ

การวัดค่าความชื้นในดินที่มีลักษณะความชื้นและอุณหภูมิแตกต่างกัน เพื่อที่จะนำมาหาค่าความชื้นเฉลี่ย ซึ่งในการทดลองแต่ละครั้งนั้นมีช่วงเวลาที่ห่างกันประมาณ 1 ชั่วโมง ภายใน 1 วัน มีผลการทดลองดังตารางต่อไปนี้

ตารางที่ 4.1 การวัดค่าความชื้นและอุณหภูมิ

| ครั้งที่ | ความชื้น (%) | อุณหภูมิ (°C) | ลักษณะของดิน |
|----------------|--------------|-------------------|--------------|
| 1 | 67.45 | 28.65 | แห้ง |
| 2 | 76.32 | 27.87 | ชื้น |
| 3 | 78.34 | 27.54 | ชื้น |
| 4 | 54.67 | 30.54 | แห้ง |
| 5 | 70.71 | 27.91 | ชื้น |
| 6 | 75.32 | 27.83 | ชื้น |
| 7 | 64.87 | 28.45 | แห้ง |
| 8 | 65.23 | 28.53 | แห้ง |
| 9 | 69.12 | 28.90 | แห้ง |
| 10 | 57.98 | 29.87 | แห้ง |
| ค่าเฉลี่ย = 68 | | ค่าเฉลี่ย = 31.25 | |

จากตารางที่ 4.1 พบว่า การทดลองวัดค่าความชื้นมีค่าเฉลี่ยเท่ากับ 68 %

4.3 การทดสอบการทำงานของเครื่องรดน้ำต้นไม้อัตโนมัติเมื่อทำการตั้งเวลา

ในการทดสอบการทำงานของเครื่องรดน้ำต้นไม้อัตโนมัติ เมื่อกำหนดเวลาที่แตกต่างกันจะให้ผลการทำงานดังตารางต่อไปนี้

ตารางที่ 4.2 ผลการทดสอบการทำงานของเครื่องรดน้ำต้นไม้อัตโนมัติ เมื่อถึงเวลาที่ตั้งไว้

| วัน/เดือน/ปี | เวลา (นาฬิกา) | ผลการทำงาน | ความชื้น (%) | | อุณหภูมิ (°C) | |
|--------------|------------------|------------|--------------|-------|---------------|-------|
| | | | ก่อน | หลัง | ก่อน | หลัง |
| 14/3/54 | 08.00 | ทำงาน | 76.78 | 77.05 | 26.64 | 26.25 |
| | 14.00 | ทำงาน | 59.83 | 60.72 | 28.73 | 28.34 |
| 15/3/54 | 09.00 | ทำงาน | 72.62 | 73.01 | 27.87 | 27.12 |
| | 15.00 | ทำงาน | 54.21 | 57.85 | 29.31 | 29.02 |
| 16/3/54 | 10.00 | ทำงาน | 69.83 | 70.11 | 27.76 | 27.54 |
| | 16.00 | ทำงาน | 55.86 | 57.02 | 26.56 | 26.12 |
| 17/3/54 | 08.00 | ทำงาน | 79.35 | 80.14 | 28.86 | 28.43 |
| | 17.00 | ทำงาน | 63.82 | 65.35 | 27.68 | 27.19 |
| 18/3/54 | 09.00 | ทำงาน | 70.79 | 71.85 | 27.95 | 27.65 |
| | 16.00 | ทำงาน | 56.02 | 58.13 | 28.97 | 28.68 |

จากตารางที่ 4.2 พบว่า การทดสอบการทำงานของเครื่องรดน้ำต้นไม้อัตโนมัติ จะเห็นว่า เครื่องรดน้ำต้นไม้อัตโนมัติทำงานตามเวลาที่ตั้งไว้ไม่ว่าความชื้นและอุณหภูมิจะมีค่าอยู่ในระดับใด

4.4 การทดสอบการทำงานของเครื่องรดน้ำต้นไม้อัตโนมัติ เมื่อกำหนดความชื้น

ในการสอบการทำงานของเครื่องรดน้ำต้นไม้อัตโนมัติ เมื่อความชื้นในดินน้อยกว่า 68% ซึ่งได้ทำการทดสอบในระหว่างวันที่ 9 – 10 เมษายน 2554 โดยวันที่ 9 เมษายน 2554 ได้ทำการวัดในช่วงเวลาตั้งแต่ 15.00 -20.00 น. และในวันที่ 10 เมษายน 2554 ได้ทำการวัดในช่วงเวลาตั้งแต่ 07.00 – 18.00 น. ซึ่งในแต่ละวันนั้นจะมีช่วงเวลาที่วัดห่างเท่ากัน คือ ประมาณ 30 นาที ได้ผลการทดสอบ ดังตาราง

ตารางที่ 4.3 ผลการทดสอบการทำงานของเครื่องรดน้ำต้นไม้อัตโนมัติ เมื่อกำหนดค่าความชื้น

| วัน/เดือน/ปี | เวลา (นาฬิกา) | ความชื้น (%) | อุณหภูมิ (°C) | การทำงาน | ผลการทำงาน |
|--------------|------------------|-----------------|------------------|----------|------------|
| 09/04/54 | 15.00 | 60.15 | 36.82 | ทำงาน | ทำงาน |
| | 15.30 | 61.35 | 36.14 | ทำงาน | ทำงาน |
| | 16.00 | 62.72 | 35.89 | ทำงาน | ทำงาน |
| | 16.30 | 63.07 | 35.45 | ทำงาน | ทำงาน |
| | 17.00 | 65.08 | 35.21 | ทำงาน | ทำงาน |
| | 17.30 | 66.97 | 34.24 | ทำงาน | ทำงาน |
| | 18.00 | 66.85 | 33.82 | ทำงาน | ทำงาน |
| | 18.30 | 67.98 | 32.16 | ทำงาน | ทำงาน |
| | 19.00 | 69.04 | 31.79 | ไม่ทำงาน | ไม่ทำงาน |
| | 19.30 | 70.21 | 30.77 | ไม่ทำงาน | ไม่ทำงาน |
| | 20.00 | 71.84 | 29.64 | ไม่ทำงาน | ไม่ทำงาน |

ตารางที่ 4.3 (ต่อ) ผลการทดสอบการทำงานของเครื่องรดน้ำต้นไม้อัตโนมัติเมื่อกำหนดค่าความชื้น

| วัน/เดือน/ปี | เวลา (นาฬิกา) | ความชื้น (%) | อุณหภูมิ (°C) | การทำงาน | ผลการทำงาน |
|--------------|------------------|-----------------|------------------|----------|------------|
| 10/04/54 | 07.00 | 75.99 | 29.19 | ไม่ทำงาน | ไม่ทำงาน |
| | 07.30 | 74.63 | 29.36 | ไม่ทำงาน | ไม่ทำงาน |
| | 08.00 | 73.16 | 30.16 | ไม่ทำงาน | ไม่ทำงาน |
| | 08.30 | 70.01 | 30.88 | ไม่ทำงาน | ไม่ทำงาน |
| | 09.00 | 66.57 | 31.99 | ทำงาน | ทำงาน |
| | 09.30 | 63.82 | 32.24 | ทำงาน | ทำงาน |
| | 10.00 | 60.19 | 33.82 | ทำงาน | ทำงาน |
| | 10.30 | 58.25 | 34.96 | ทำงาน | ทำงาน |
| | 11.00 | 56.68 | 35.81 | ทำงาน | ทำงาน |
| | 11.30 | 55.38 | 36.21 | ทำงาน | ทำงาน |
| | 12.00 | 54.14 | 37.02 | ทำงาน | ทำงาน |
| | 12.30 | 48.59 | 38.16 | ทำงาน | ทำงาน |
| | 13.00 | 47.27 | 38.82 | ทำงาน | ทำงาน |
| | 13.30 | 46.69 | 39.64 | ทำงาน | ทำงาน |
| | 14.00 | 50.89 | 38.13 | ทำงาน | ทำงาน |
| | 14.30 | 52.57 | 37.91 | ทำงาน | ทำงาน |
| | 15.00 | 54.05 | 37.06 | ทำงาน | ทำงาน |
| | 15.30 | 57.98 | 36.42 | ทำงาน | ทำงาน |
| | 16.00 | 60.17 | 35.86 | ทำงาน | ทำงาน |
| | 16.30 | 61.33 | 35.01 | ทำงาน | ทำงาน |
| 17.00 | 63.83 | 34.22 | ทำงาน | ทำงาน | |
| 17.30 | 65.09 | 33.96 | ทำงาน | ทำงาน | |
| 18.00 | 67.85 | 31.97 | ทำงาน | ทำงาน | |

จากตารางที่ 4.3 พบว่า เครื่องร่อนน้ำต้นไม้อัตโนมติ ทำงานเมื่อความชื้นในดินน้อยกว่า 68 % และพบว่า เครื่องร่อนน้ำต้นไม้อัตโนมติไม่ทำงาน เมื่อความชื้นในดินมากกว่าหรือเท่ากับ 68 %



บทที่ 5

วิเคราะห์ผลการทดลอง

5.1 บทนำ

ในบทนี้เป็นการวิเคราะห์ผลการทดลองการทดสอบการทำงานของเครื่องร่อนน้ำต้นไม้อัดโนมิติ ซึ่งได้นำผลการทดลองจากบทที่ 4 มาวิเคราะห์ผลเป็นดังนี้

5.2 วิเคราะห์ผลการทดลอง

จากตารางที่ 4.1 การทดสอบเก็บข้อมูลค่าความชื้นทั้งหมด 10 ครั้ง จะเห็นว่าค่าความชื้นมีค่าน้อย เมื่ออุณหภูมิสูงและดินมีลักษณะแห้ง ซึ่งในทางตรงกันข้าม เมื่ออุณหภูมิต่ำและดินมีลักษณะเปียก จะทำให้ค่าความชื้นมีค่ามาก เมื่อนำมาหาค่าความชื้นเฉลี่ย พบว่ามีค่าเฉลี่ยเท่ากับ 68 %

จากผลการทดสอบการทำงานของเครื่องร่อนน้ำต้นไม้อัดโนมิติตารางที่ 4.2 จะเห็นว่า ในวันที่ 14 มีนาคม 2554 เวลา 08.00 น. เครื่องจะทำงาน ซึ่งวัดค่าความชื้นก่อนร่อนน้ำต้นไม้อัดได้เท่ากับ 76.78 % และหลังร่อนน้ำต้นไม้อัดได้เท่ากับ 77.05 % ซึ่งค่าความชื้นที่วัดได้จะมีค่ามากกว่าค่าความชื้นที่กำหนดไว้ เนื่องจากอากาศในตอนเช้ายังมีความชื้นอยู่ และในเวลา 14.00 น. เครื่องจะทำงาน ซึ่งวัดค่าความชื้นก่อนร่อนน้ำต้นไม้อัดได้เท่ากับ 59.63 % และหลังร่อนน้ำต้นไม้อัดได้เท่ากับ 60.72 % ซึ่งค่าความชื้นที่วัดได้จะมีค่าน้อยกว่าค่าความชื้นที่กำหนดไว้ เนื่องจากอากาศร้อนอบอ้าวในช่วงกลางวันทำให้ความชื้นในดินลดลงมาก

จากผลการทดสอบการทำงานของเครื่องร่อนน้ำต้นไม้อัดโนมิติตารางที่ 4.2 จะเห็นว่า ในวันที่ 15 มีนาคม 2554 เวลา 09.00 น. เครื่องจะทำงาน ซึ่งวัดค่าความชื้นก่อนร่อนน้ำต้นไม้อัดได้เท่ากับ 72.62 % และหลังร่อนน้ำต้นไม้อัดได้เท่ากับ 73.01 % ซึ่งค่าความชื้นที่วัดได้จะมีค่ามากกว่าค่าความชื้นที่กำหนดไว้ เนื่องจากอากาศในตอนเช้ายังมีความชื้นอยู่ และในเวลา 15.00 น. เครื่องจะทำงาน ซึ่งวัดค่าความชื้นก่อนร่อนน้ำต้นไม้อัดได้เท่ากับ 54.21 % และหลังร่อนน้ำต้นไม้อัดได้เท่ากับ 57.85 % ซึ่งค่าความชื้นที่วัดได้จะ

มีค่าน้อยกว่าค่าความชื้นที่กำหนดไว้ เนื่องจากอากาศร้อนอบอ้าวในช่วงกลางวันทำให้ความชื้นในดินลดลงมาก

จากผลการทดสอบการทำงานของเครื่องรดน้ำต้นไม้อัตโนมัติตารางที่ 4.2 จะเห็นว่า ในวันที่ 16 มีนาคม 2554 เวลา 10.00 น. เครื่องจะทำงาน ซึ่งวัดค่าความชื้นก่อนรดน้ำต้นไม้นี้ได้เท่ากับ 69.83 % และหลังรดน้ำต้นไม้นี้วัดได้เท่ากับ 70.11 % ซึ่งค่าความชื้นที่วัดได้จะมีค่ามากกว่าค่าความชื้นที่กำหนดไว้ เนื่องจากอากาศในตอนเช้ายังมีความชื้นอยู่ และในเวลา 16.00 น. เครื่องจะทำงาน ซึ่งวัดค่าความชื้นก่อนรดน้ำต้นไม้นี้ได้เท่ากับ 55.86 % และหลังรดน้ำต้นไม้นี้วัดได้เท่ากับ 57.02 % ซึ่งค่าความชื้นที่วัดได้จะมีค่าน้อยกว่าค่าความชื้นที่กำหนดไว้ เนื่องจากอากาศร้อนอบอ้าวในช่วงกลางวันทำให้ความชื้นในดินลดลงมาก

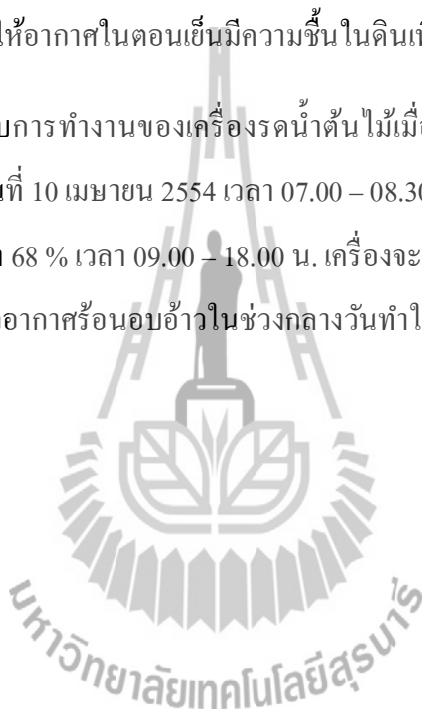
จากผลการทดสอบการทำงานของเครื่องรดน้ำต้นไม้อัตโนมัติตารางที่ 4.2 จะเห็นว่า ในวันที่ 17 มีนาคม 2554 เวลา 08.00 น. เครื่องจะทำงาน ซึ่งวัดค่าความชื้นก่อนรดน้ำต้นไม้นี้ได้เท่ากับ 79.35 % และหลังรดน้ำต้นไม้นี้วัดได้เท่ากับ 80.14 % ซึ่งค่าความชื้นที่วัดได้จะมีค่ามากกว่าค่าความชื้นที่กำหนดไว้ เนื่องจากอากาศในตอนเช้ายังมีความชื้นอยู่ และในเวลา 17.00 น. เครื่องจะทำงาน ซึ่งวัดค่าความชื้นก่อนรดน้ำต้นไม้นี้ได้เท่ากับ 63.82 % และหลังรดน้ำต้นไม้นี้วัดได้เท่ากับ 65.35 % ซึ่งค่าความชื้นที่วัดได้จะมีค่าน้อยกว่าค่าความชื้นที่กำหนดไว้ เนื่องจากอากาศร้อนอบอ้าวในช่วงกลางวันทำให้ความชื้นในดินลดลงมาก

จากผลการทดสอบการทำงานของเครื่องรดน้ำต้นไม้อัตโนมัติตารางที่ 4.2 จะเห็นว่า ในวันที่ 18 มีนาคม 2554 เวลา 09.00 น. เครื่องจะทำงาน ซึ่งวัดค่าความชื้นก่อนรดน้ำต้นไม้นี้ได้เท่ากับ 70.79 % และหลังรดน้ำต้นไม้นี้วัดได้เท่ากับ 71.85 % ซึ่งค่าความชื้นที่วัดได้จะมีค่ามากกว่าค่าความชื้นที่กำหนดไว้ เนื่องจากอากาศในตอนเช้ายังมีความชื้นอยู่ และในเวลา 16.00 น. เครื่องจะทำงาน ซึ่งวัดค่าความชื้นก่อนรดน้ำต้นไม้นี้ได้เท่ากับ 56.02 % และหลังรดน้ำต้นไม้นี้วัดได้เท่ากับ 58.13 % ซึ่งค่าความชื้นที่วัดได้จะมีค่าน้อยกว่าค่าความชื้นที่กำหนดไว้ เนื่องจากอากาศร้อนอบอ้าวในช่วงกลางวันทำให้ความชื้นในดินลดลงมาก

จากการทดสอบการทำงานของเครื่องรดน้ำต้นไม้อัตโนมัติทั้ง 5 วันพบว่า การทำงานของเครื่องรดน้ำต้นไม้จะทำงานตามเวลาที่ตั้งไว้

จากผลการทดสอบการทำงานของเครื่องรดน้ำต้นไม้เมื่อความชื้นในดินน้อยกว่า 68 % ในตารางที่ 4.3 จะเห็นว่าในวันที่ 09 เมษายน 2554 เวลา 15.00 – 18.30 น. เครื่องจะทำงาน เนื่องจากค่าความชื้นในดินมีค่าน้อยกว่า 68 % เวลา 19.00 – 20.00 น. เครื่องจะไม่ทำงาน เนื่องจากค่าความชื้นในดินมีค่ามากกว่า 68 % ทำให้อากาศในตอนเย็นมีความชื้นในดินเพิ่มมากขึ้น

จากผลการทดสอบการทำงานของเครื่องรดน้ำต้นไม้เมื่อความชื้นในดินน้อยกว่า 68 % ในตารางที่ 4.3 จะเห็นว่าในวันที่ 10 เมษายน 2554 เวลา 07.00 – 08.30 น. เครื่องจะไม่ทำงาน เนื่องจากค่าความชื้นในดินมีค่ามากกว่า 68 % เวลา 09.00 – 18.00 น. เครื่องจะทำงาน เนื่องจากค่าความชื้นในดินมีค่าน้อยกว่า 68 % เนื่องจากอากาศร้อนอบอ้าวในช่วงกลางวันทำให้ความชื้นในดินลดลงมาก



บทที่ 6

สรุปและข้อเสนอแนะ

6.1 บทนำ

ในบทนี้เป็นการสรุปผลการทดลองการทดสอบการทำงานของเครื่องรดน้ำต้นไม้อัตโนมัติ ซึ่งได้นำผลการทดลองจากบทที่ 4 มาสรุปเป็นดังนี้

6.2 สรุปผลการทดสอบ

โครงการนี้ได้ทำการศึกษาเกี่ยวกับการทำงานของเครื่องรดน้ำต้นไม้อัตโนมัติ ซึ่งมีส่วนประกอบที่สำคัญคือ ไมโครคอนโทรลเลอร์ เซนเซอร์วัดความชื้น และ โซลินอยด์วาล์ว เพื่อให้ทุกคนช่วยกันรักษาต้นไม้อัตโนมัติเพื่อลดภาวะโลกร้อนที่เกิดขึ้นในปัจจุบัน ซึ่งเราสามารถตั้งเวลาในการรดน้ำต้นไม้อัตโนมัติในช่วงเวลาที่เราไม่อยู่บ้านได้อีกด้วย

จากการทดสอบการทำงาน พบว่าเครื่องรดน้ำต้นไม้อัตโนมัติจะทำงานตามเวลาที่ตั้งไว้และในช่วงเวลาที่ความชื้นที่วัดได้มีค่าน้อยกว่าค่าความชื้นที่กำหนดไว้ แต่ในช่วงเวลาที่ความชื้นมากกว่าที่กำหนดไว้ เครื่องจะไม่ทำงาน ซึ่งจะเป็นการช่วยประหยัดน้ำและแรงงานคนได้อีกด้วย และช่วงเวลาที่มีความชื้นน้อยที่สุดคือเวลา 12.00 – 14.00 น. เนื่องจากตอนกลางวันมีอากาศร้อนมาก ทำให้ความชื้นในดินลดลงมากด้วย และในช่วงเวลา 07.00 – 08.00 น. จะมีความชื้นมากเพราะอากาศในตอนเช้าเย็น

จากการทดสอบนี้ได้ผลสรุปว่า เครื่องรดน้ำต้นไม้อัตโนมัติมีประโยชน์ในด้านต่าง ๆ เช่น ด้านการเกษตรกรรม ซึ่งสามารถนำไปใช้กับพืชได้เกือบทุกชนิด และเป็นการรักษาต้นไม้อัตโนมัติเพื่อลดภาวะโลกร้อนได้อีกด้วย

6.3 ปัญหาและอุปสรรค

ปัญหาและอุปสรรคที่เกิดขึ้นในระหว่างทำการทดสอบสามารถสรุปได้ดังนี้

- ปัญหาเรื่องอุปกรณ์อิเล็กทรอนิกส์แต่ละตัว เมื่อใช้ระยะเวลาในการทำการทดลอง บางครั้งอุปกรณ์บางตัวเกิดความเสียหายทำให้การทดลองขาดเคลื่อน
- ปัญหาเกี่ยวกับ เซนเซอร์ วัดความชื้น มีความไวกับสภาพแวดล้อม ซึ่งเสียหายง่าย

6.4 ข้อเสนอแนะ

- เมื่อต้องการวัดความชื้นที่มีความแม่นยำมากขึ้น ควรเลือก เซนเซอร์ ที่มีความละเอียดมากกว่านี้
- พัฒนาโปรแกรมให้สามารถทำการตั้งเวลาและตั้งจำนวนครั้งในการรดน้ำต้นไม้ได้



บรรณานุกรม

1. http://www.sensirion.com/en/pdf/product_information/Datasheet-humidity-sensor-SHT1x.pdf
2. http://www.norgren.com/document_resources/KIP/Valves03.pdf
3. http://www.atmel.com/dyn/resources/prod_documents/doc2467.pdf
4. http://www.nsrui.ac.th/e-learning/soil/lesson_4.php
5. บริษัทอีทีที จำกัด. คู่มือการใช้งานบอร์ด ET-AVR STAMP ATMEGA128 [on line] จาก :
<http://www.ett.co.th/download/03AVR/03A08/ET-AVR%20STAMP%20ATmega64.pdf>
6. บริษัทอีทีที จำกัด. คู่มือการใช้งานบอร์ด ET-RF24G V1.0 [on line] จาก :
<http://www.ett.co.th/download/12INTERFACE/12A25/MANUAL.rar>
7. <http://www.es.co.th/>

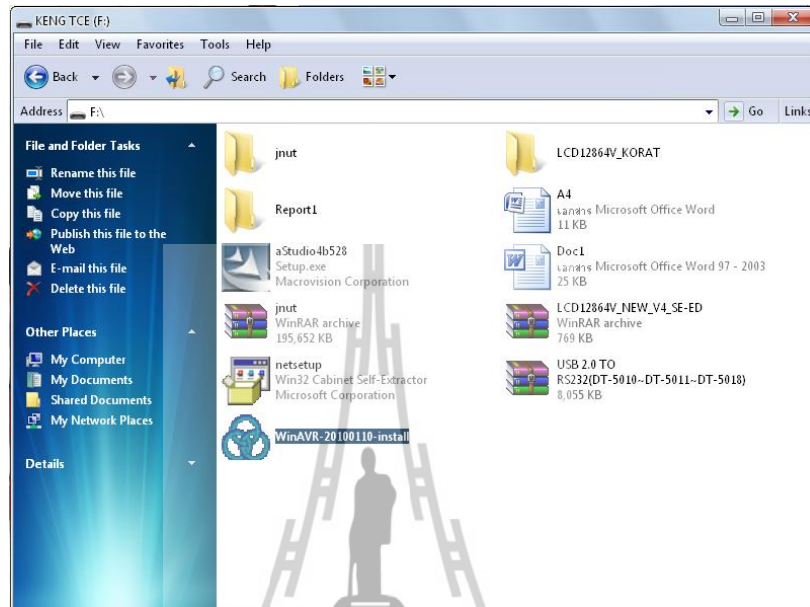


ภาคผนวก ก



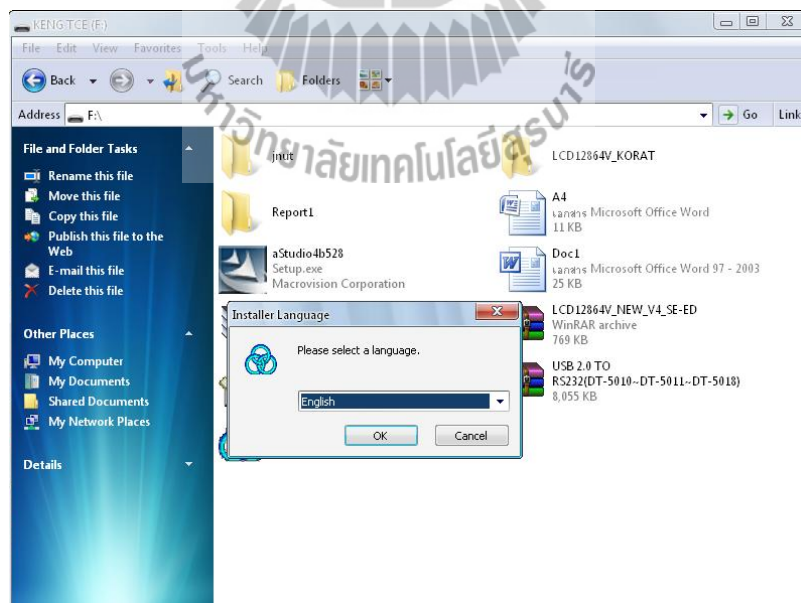
การติดตั้งโปรแกรม WinAVR

1. ดับเบิลคลิกที่ WinAvR.20100110.install.exe



รูปที่ ก.1 เลือก โปรแกรมที่ติดตั้ง

2. เลือกภาษา เสร็จแล้วคลิก OK



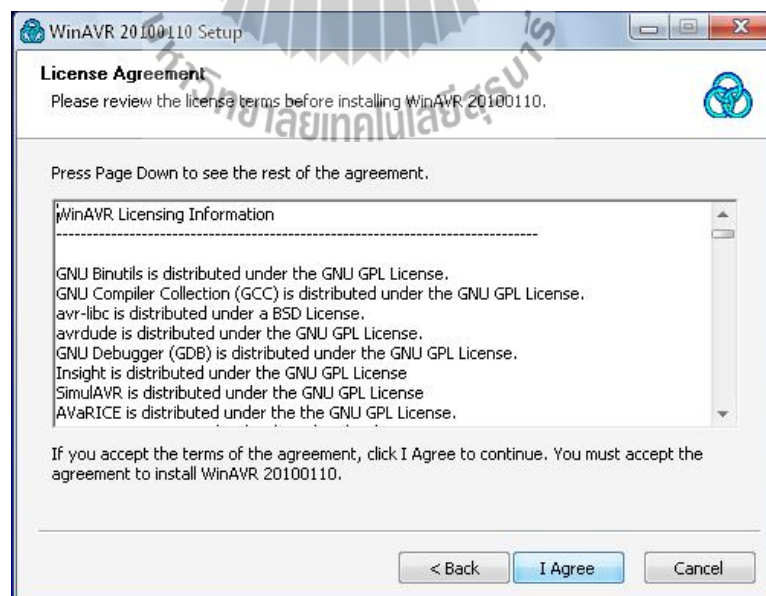
รูปที่ ก.2 เลือกภาษา

3. คลิก Next



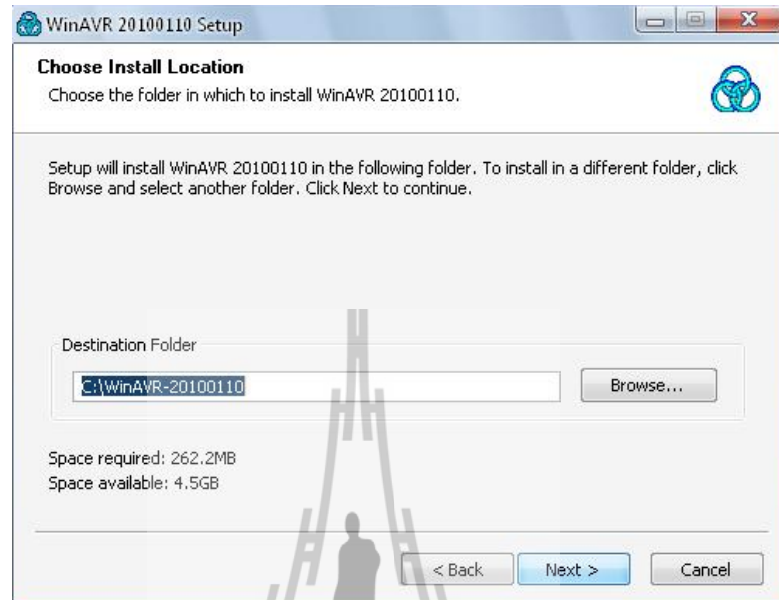
รูปที่ ก.3 หน้าต่าง Welcome to the WinAVR 20100110 setup wizard

4. คลิก I Agree



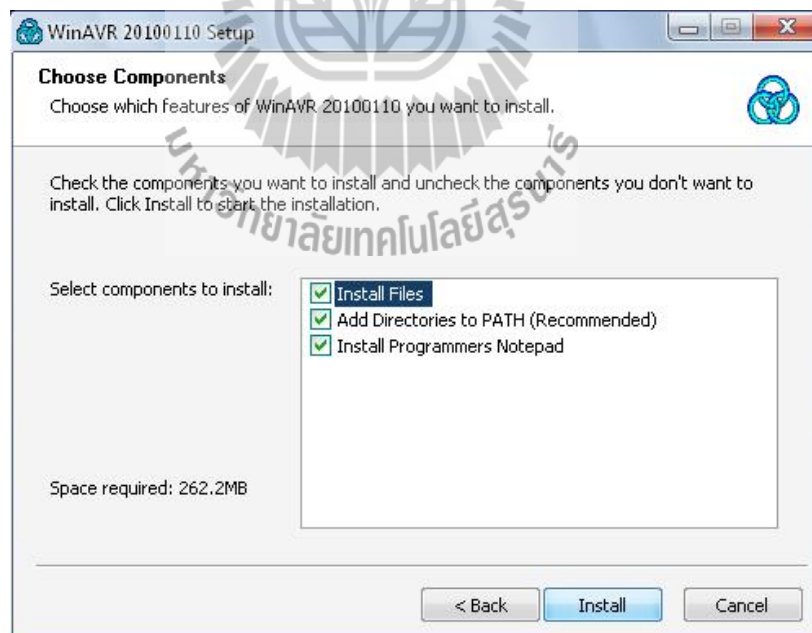
รูปที่ ก.4 หน้าต่าง License Agreement

5. เลือกที่เก็บโปรแกรม แล้วคลิก Next



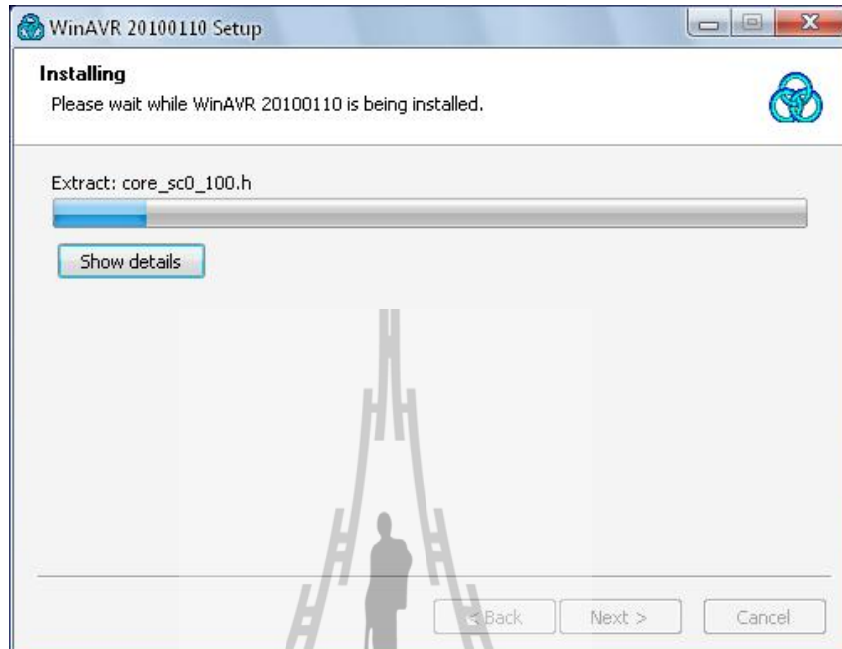
รูปที่ ก.5 หน้าต่าง Choose install location

6. คลิก Install



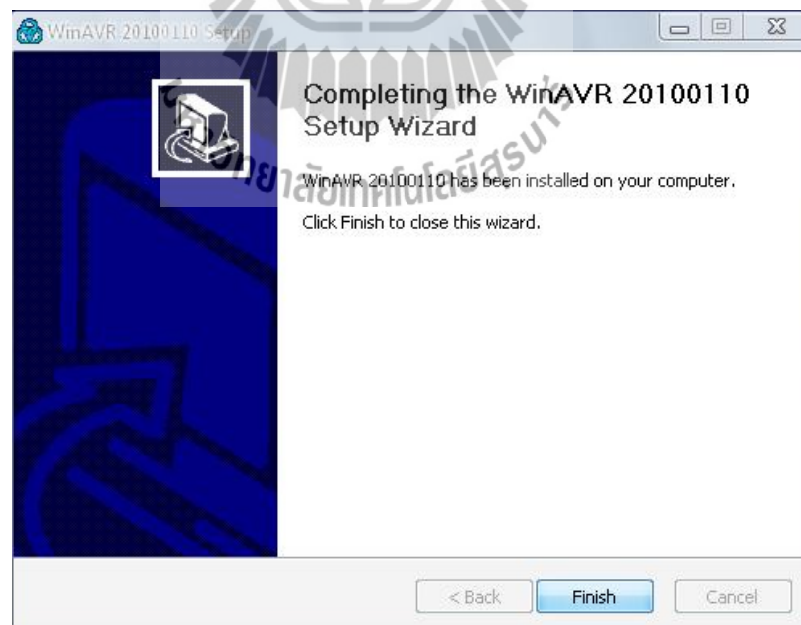
รูปที่ ก.6 หน้าต่าง Choose components

7. รอโหลดโปรแกรม



รูปที่ ก.7 หน้าต่าง Installing

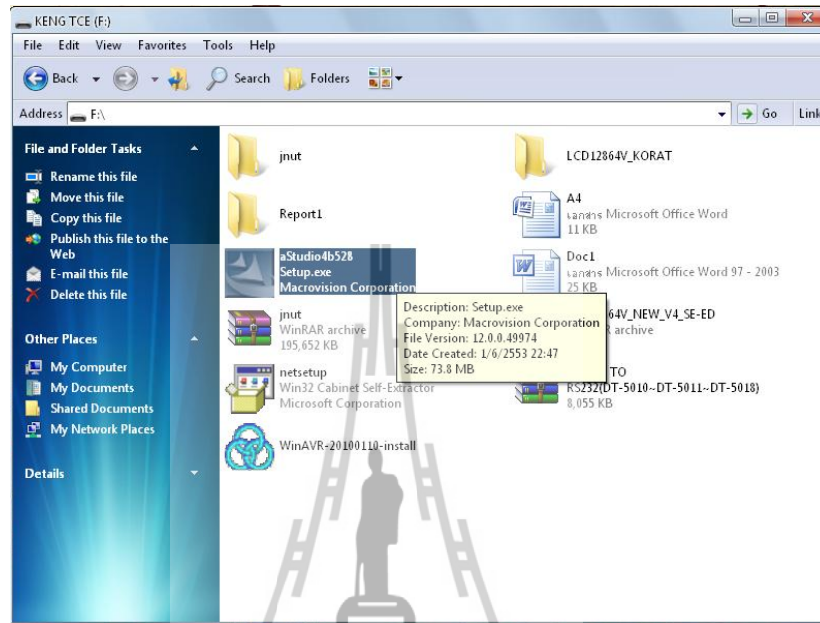
8. คลิก Finish เสร็จสิ้นการลงโปรแกรม WinAVR



รูปที่ ก.8 หน้าต่างแสดงการติดตั้งเสร็จสมบูรณ์

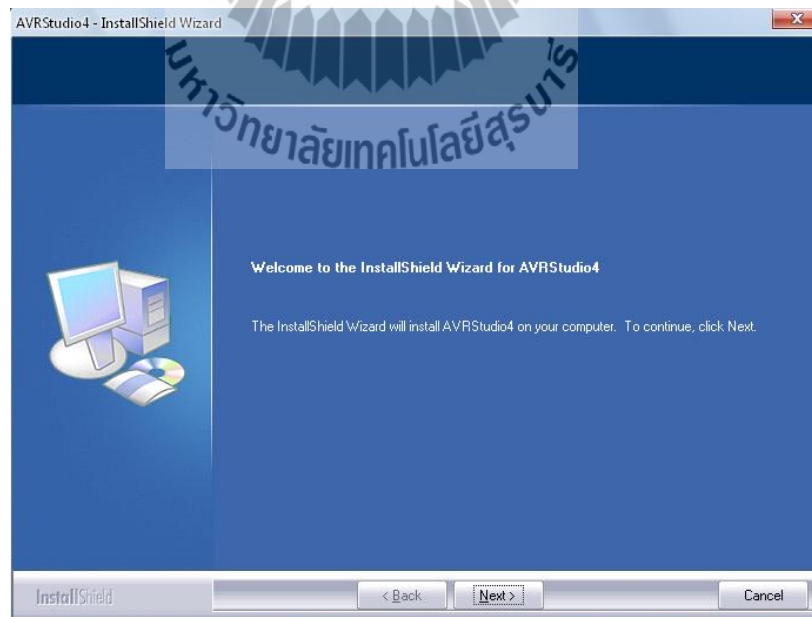
การติดตั้งโปรแกรม AVR Studio 4

1. ดับเบิลคลิกไฟล์ aStudio4b528.exe



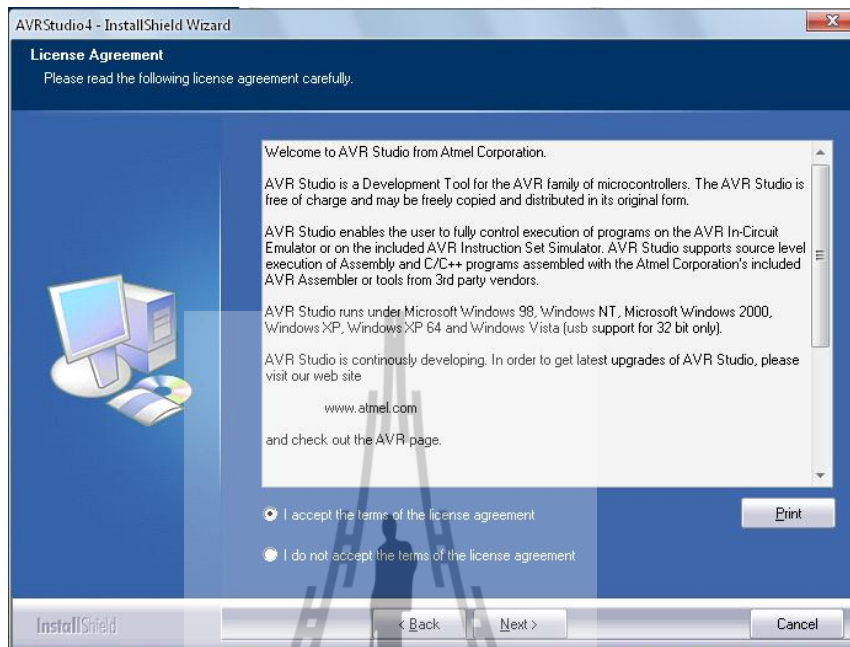
รูปที่ ก.9 เลือกโปรแกรม aStudio4b528

2. คลิก Next



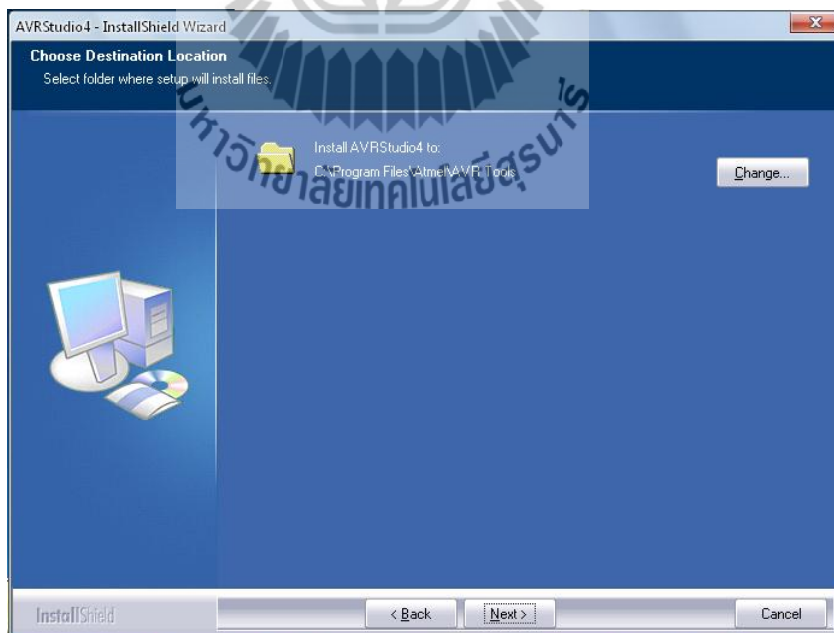
รูปที่ ก.10 หน้าต่าง Welcome to the installshield wizard for AVRStudio4

3. เลือก I accept the of the license agreement แล้วคลิก Next



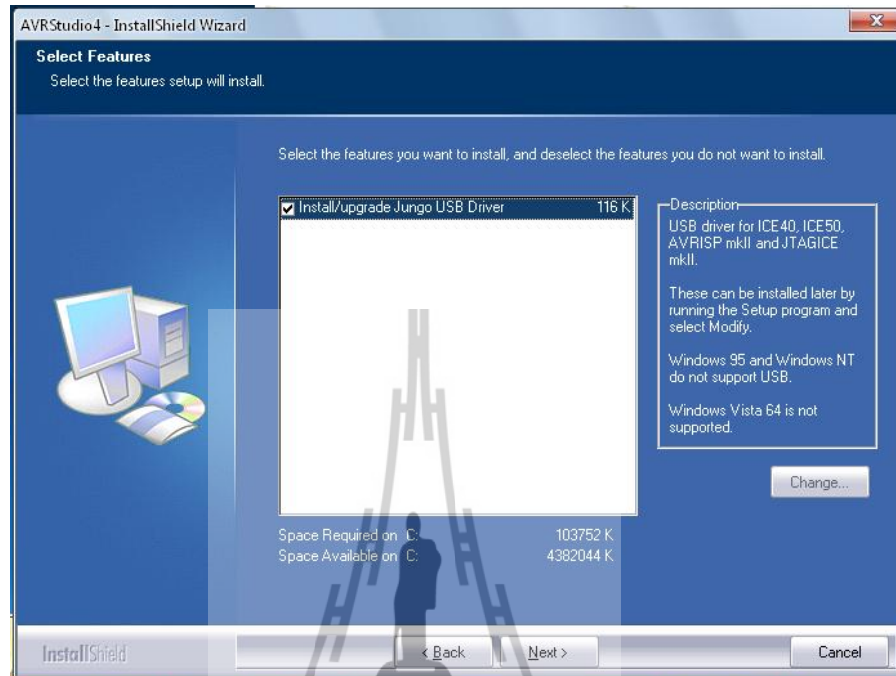
รูปที่ ก.11 หน้าต่าง License agreement

4. เลือกที่จัดเก็บ โปรแกรม แล้วคลิก Next



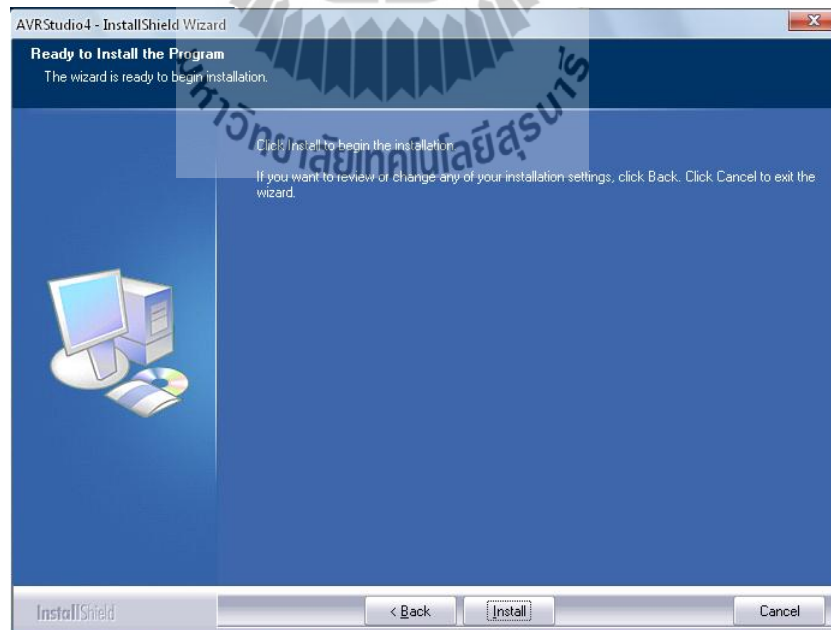
รูปที่ ก.12 หน้าต่าง Choose destination location

5. คลิก Next



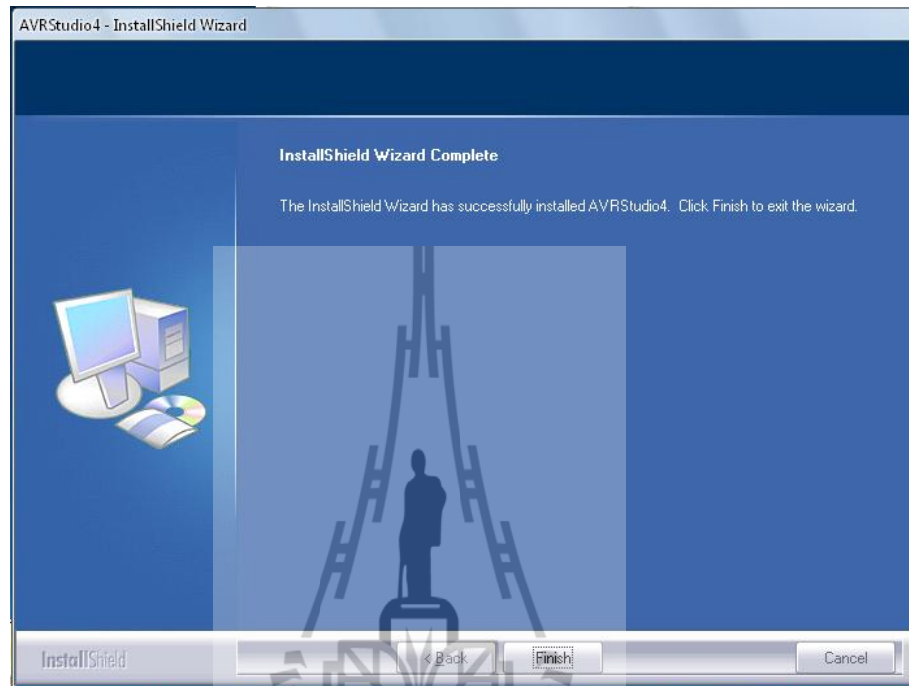
รูปที่ ก.13 หน้าต่าง Select features

6. คลิก Install



รูปที่ ก.14 หน้าต่าง Ready to install the program

7. คลิก Finish เสร็จขั้นตอนการลงโปรแกรม AVR Studio 4

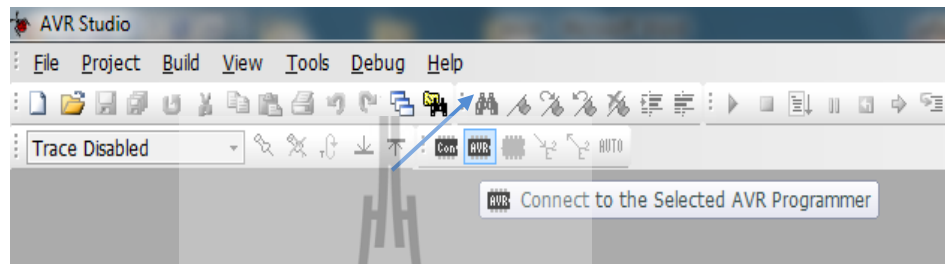


รูปที่ ก.15 หน้าต่างแสดงการเสร็จสิ้นการลงโปรแกรม AVR Studio 4

ขั้นตอนการโหลดไฟล์ HEX ลงบอร์ด

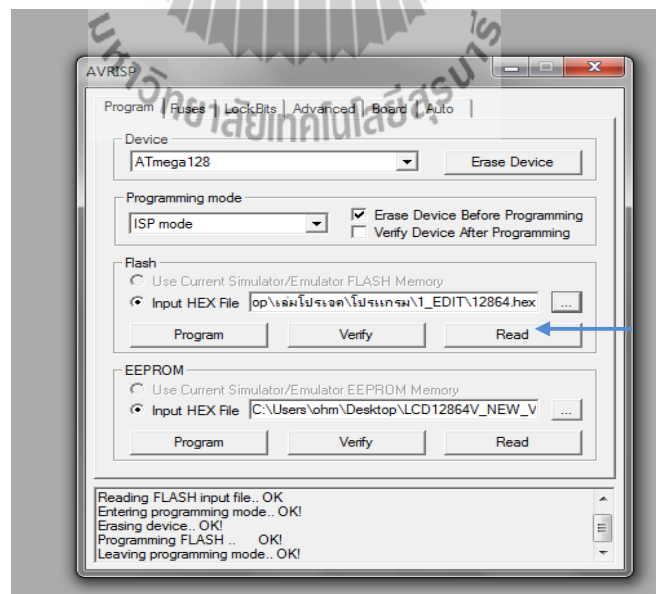
1. เปิดโปรแกรม AVR Studio 4 ขึ้นมา
2. คลิก Connect to the selected AVR

programmer



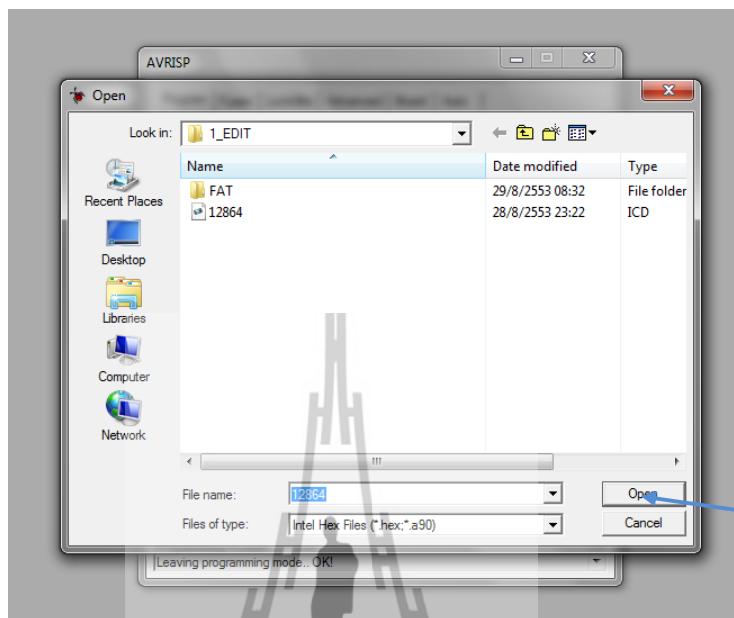
รูปที่ ก.16 การ Connect to the selected AVR programmer

3. แถว Platform เลือก STK500 or AVRISP แถว Port ให้เลือก Port ที่เราใช้ แล้วคลิก Connection
4. เลือกตามลูกศรชี้ เพื่อเปิดไฟล์ HEX



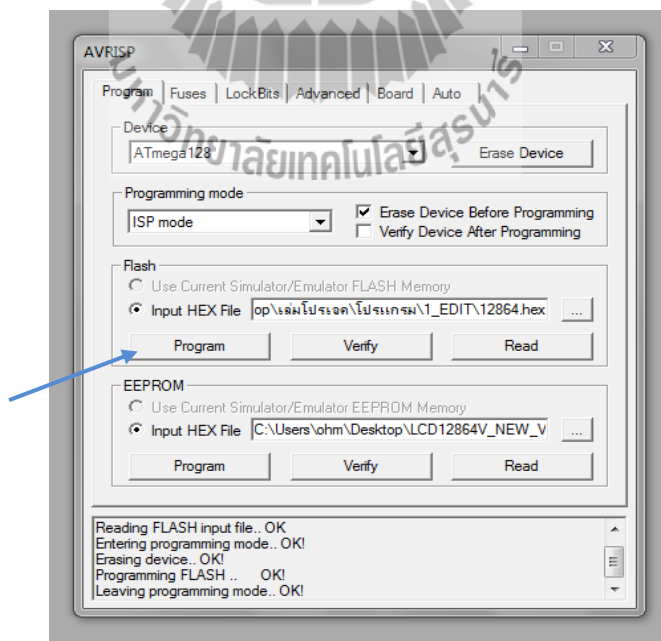
รูปที่ ก.17 วิธีการเปิดไฟล์ HEX

5. เลือกที่เก็บไฟล์ HEX



รูปที่ ก.18 แสดงการเลือกไฟล์ HEX

6. คลิก Program แล้วรอดักคู้ เสร็จการโหลดไฟล์ HEX



รูปที่ ก.19 คำสั่งในการโหลดไฟล์ HEX

ภาคผนวก ข



โค้ดโปรแกรมหลัก

```
#include <avr/io.h>
```

```
#include <avr/interrupt.h>
```

```
#include <stdio.h>
```

```
#include <stdarg.h>
```

```
#include <string.h>
```

```
#include <stdlib.h>
```

```
#include <math.h>
```

```
#include "mydefs.h"
```

```
#include "FAT/dos.h"
```

```
#endif
```

```
#include "DS1307.h"
```

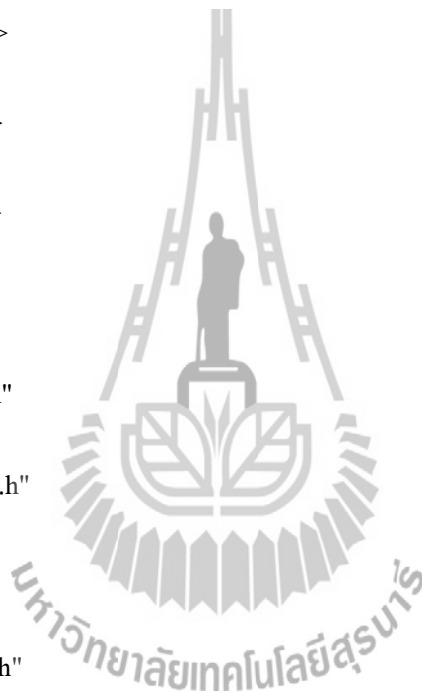
```
#include "setup.h"
```

```
#include "eeprom.h"
```

```
#include "key.h"
```

```
#include "lcd.h"
```

```
#include "sht15.h"
```



```
char  lcdbuf[SIZEOF_LINE + 1];

uint8_t  flag,ct=0;

uint8_t  auto_ = 0;          //mode

uint32_t  timmerOn;

double  volt,current;

ISR(INT4_vect)

{

    flag  |= DS1307_INT;    //Set Flag interrupt buffer after INT4 interrupt

}

void help (void)

{

    printf ("\r\n");

    printf ("\r\n");

}

void update (void)

{

    RTC.year = 10;
```

```
RTC.month = 8;

RTC.date = 13;

RTC.hour = 0;

RTC.min = 27;

update_RTC ();

}

int main(void)

{

uint8_t key;

DDRC = 0x00;

DDRD = 0x00;

DDRF = 0x00;


_delay_ms (1);

BUZ_DDR |= _BV(BUZZER);

relay1_DDR |= _BV(relay1);

relay1_off();

LED_DDR |= _BV(LED2) | _BV(LED3);
```



```
LED_PORT &= ~_BV(LED2) | ~_BV(LED3);

init_uart1 ();

ser_init();                // init uart

Buzzer_on ();

_delay_ms (100);

Buzzer_off ();

init_lcd ();                // init lcd

#ifdef RTC_1307

PORT_INT4 |= _BV(INT4);

TWI_init ();

EICRB = _BV(ISC41) | (0 << ISC40);    enable_rtc ();

#endif

Blacklight_off ();

lcd_check_status();

sei ();

help ();

beep (LONG);
```

```
check_DS1307 (0);

#ifdef RS232_DEBUG

printf ("\r\nReady....");

#endif

    _timer.flag_2=0;

    _timer.flag_1=0;

    _timer.flag_3=0;

    _timer.flag_4=0;

    _val.humid=100;

_load_timmer();

_delay_ms (1000);

unsigned char i5=3,i6=0;

while (1)

{

    if (flag & DS1307_INT)

    {

        timmerOn = display_rtc ();

        flag &= ~DS1307_INT;        //set flag RTC = 0;
```



```
LED_PORT ^= _BV(LED3);

ct = check_timmer ();

if(ct){

relay1_on();

}

else{relay1_off();}

if(i5>2){

i5=0;

disable_rtc ();

HumiditySHT11Func();

enable_rtc ();

}

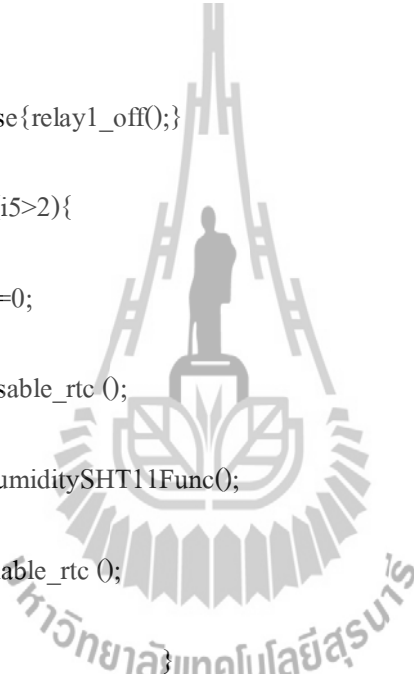
i5++;

}

key = kbd_getc ();

if (key != 0)

{
```



```
#ifndef KEY_DEBUG

printf ("\r\n%c",key);

#endif

switch (key)
{
    case CONFIG_DATE :      setup_date_time ();
                             i5=3;
                             break;
    case CONFIG_Alarm1 :  setup_time_alarm1();
                             i5=3;      break;
    case KEY_DOWN :      beep (LONG);
                             relay1_off();

                             while (kbd_getc () != 0)
                             _delay_ms (100);

                             break;

    case KEY_UP :          beep (LONG);

                             relay1_on();

                             while (kbd_getc () != 0);
```

```

        _delay_ms (100);      break;

    case  KEY_show_Alarm1    : beep (LONG);

    while (kbd_getc () != 0);

    _show_timmer_alarm(); //set_alarm1();

    i5=3;      break;

    case  KEY_ENT           : beep (LONG);

    while (kbd_getc () != 0);

    _delay_ms (100);

    if(_timer.flag_1==1){_timer.flag_1=0;alarm1.s_min=alarm1.s_min-2;}

    if(_timer.flag_2==1){_timer.flag_2=0;alarm2.s_min=alarm2.s_min-2;}

        break;      default:

    break;

    }

}

}while (1);

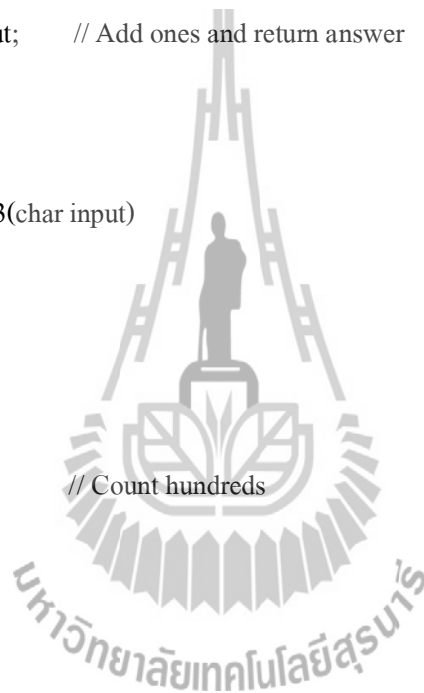
}

```

โค้ด SENSOR SHT15

```
#ifndef sht_C_  
  
#define sht_C_  
  
#include <avr/io.h>  
  
#include <avr/pgmspace.h>  
  
#include <inttypes.h>  
  
#include <math.h>  
  
#include "pgmspacehlp.h"  
  
#include "sht15.h"  
  
#include "mydefs.h"  
  
#include "lcd.h"  
  
char CHAR2BCD2(signed char input)  
  
{  
  
    char high = 0;  
  
    if (input < 0)  
  
        input = ~(input) + 1;  
  
    while (input >= 10)        // Count tens
```

```
{  
  
    high++;  
  
    input -= 10;  
  
}  
  
return (high << 4) | input;    // Add ones and return answer  
}  
  
unsigned int CHAR2BCD3(char input)  
{  
  
    int high = 0;  
  
    while (input >= 100)    // Count hundreds  
    {  
  
        high++;  
  
        input -= 100;  
  
    }  
  
    high <<= 4;  
  
    while (input >= 10)    // Count tens  
  
    {
```



```
    high++;

    input -= 10;

}

return (high << 4) | input;    // Add ones and return answer
}

char error;                //global

unsigned char s_write_byte(unsigned char value)
{
    unsigned char i;

    error=0;

    MAKE_DATA_OUTPUT;      //Make data pin an output

    _delay_us(1);

    for(i=0x80;i>0;i/=2)

    {

        if (i & value) SET_DATA;

        else CLEAR_DATA;

        SET_SCK;
```

```

        _delay_us(3);

    CLEAR_SCK;

}

SET_DATA;          //Release the data line

MAKE_DATA_INPUT;   //Make data pin an input

SET_DATA;          //Enable internal pull-up resistor

_delay_us(1);

SET_SCK;           //Clock pulse #9 for ack

_delay_us(3);

error=DATA;        //check ack (DATA will be pulled down by SHT11)

CLEAR_SCK;

    return error;   //error=1 if no ACK from sensor

}

unsigned char s_read_byte(unsigned char ack)

{

    unsigned char i, val=0;

    MAKE_DATA_OUTPUT; //Make data pin an output

```

```
_delay_us(1);

SET_DATA;          //Release the data line

MAKE_DATA_INPUT;   //Make data pin an input

SET_DATA;          //Enable internal pull-up resistor

_delay_us(1);

for(i=0x80;i>0;i/=2)
{
    SET_SCK;

    _delay_us(1);

    if (DATA) val=(val | i);

    CLEAR_SCK;

    _delay_us(1);

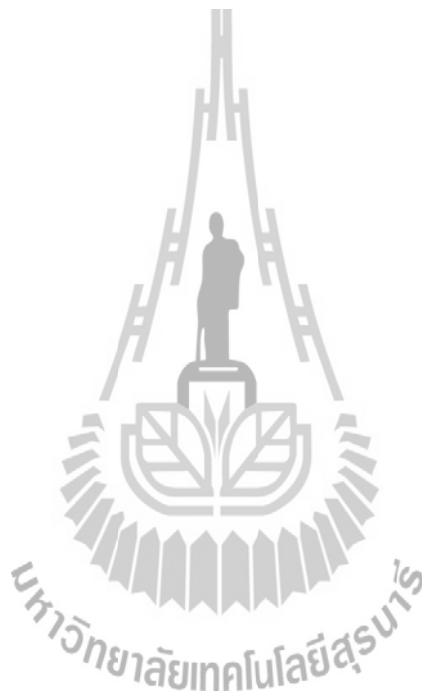
}

MAKE_DATA_OUTPUT;

    _delay_us(1);

CLEAR_DATA;        //In case 'ack==1' pull down DATA line

_delay_us(2);
```




```
SET_SCK;           //Clock pulse #9 for ack

_delay_us(3);

CLEAR_SCK;

_delay_us(2);

SET_DATA;         //Release the data line

return val;
}

void s_transstart (void)
{
    MAKE_DATA_OUTPUT;

    _delay_us(1);

    SET_DATA;

    CLEAR_SCK;

    _delay_us(2);

    SET_SCK;;

    _delay_us(2);

    CLEAR_DATA;
```



```
_delay_us(2);

CLEAR_SCK;

_delay_us(4);

SET_SCK;

    _delay_us(2);

SET_DATA;

    _delay_us(2);

CLEAR_SCK;
}

void s_connectionreset (void)
{

    unsigned char i;

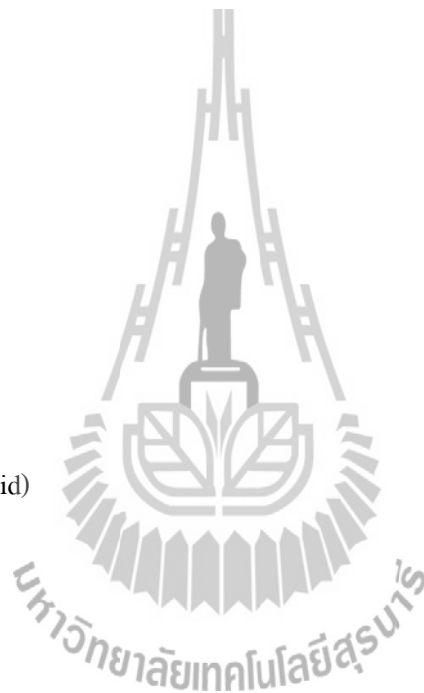
    MAKE_DATA_OUTPUT;

    _delay_us(1);

    SET_DATA;

    CLEAR_SCK;

    for(i=0;i<9;i++)
```



```

{

SET_SCK;

    _delay_us(2);

CLEAR_SCK;

    _delay_us(2);

}

s_transstart();
}

unsigned char s_softreset(void)
{

error=0;

s_connectionreset(); //communication reset

error = s_write_byte(RESET); //send reset command to sensor

return error; //error if no response from sensor

}

unsigned char s_read_statusreg(unsigned char *p_value, unsigned char *p_checksum)

{

```

```

error=0;

s_transstart();          //transmission start

error=s_write_byte(STATUS_REG_R); //send command to sensor

*p_value=s_read_byte(ACK); //read status register (8-bit)

*p_checksum=s_read_byte(noACK); //read checksum (8-bit)

return error;           //error if no response from sensor
}

unsigned char s_write_statusreg(unsigned char *p_value)
{
error=0;

s_transstart();        //transmission start

error+=s_write_byte(STATUS_REG_W); //send command to sensor

error+=s_write_byte(*p_value); //send command to sensor

return error;         //error if no response from sensor
}

unsigned char s_measure(unsigned char *p_value, unsigned char *p_checksum, unsigned char mode)
{

```

```
unsigned int i;

error=0;

s_transstart();           //transmission start

switch (mode)

{

    case TEMP : error += s_write_byte(MEASURE_TEMP); break;

    case HUMID: error += s_write_byte(MEASURE_HUMI); break;

    default  : break;

}

MAKE_DATA_INPUT;           //Make data pin an input

SET_DATA;                  //Enable internal pull-up resistor

i=0;

while((DATA) && (i<65534))

{

    _delay_us(30);

    i++;

}
```

```

if (i>65533) error+=1;      //timeout after ~2s

*(p_value+1) = s_read_byte(ACK); //read MSB

*(p_value) = s_read_byte(ACK); //read LSB

*p_checksum = s_read_byte(noACK); //read checksum

return error;

}

void calc_sht11(float *p_humidity, float *p_temperature)

{

const float C1=-4.0;      //for 12 bit

const float C2= 0.0405;  //for 12 bit

const float C3=-0.0000028; //for 12 bit

const float T1= 0.01;    //for 14 bit at 5V

const float T2= 0.00008; //for 14 bit at 5V

float rh=*p_humidity;    // rh:  humidity [Ticks] 12 bits

float t=*p_temperature;  // t:  temperature [Ticks] 14 bits

float rh_lin;            // rh_lin: humidity linear

float rh_true;          // rh_true: temperature compensated humidity

```

```

float t_C;           // t_C:  temperature degrees C

t_C=(t*0.01) - 39.6; // calc degrees C from ticks @ 3V=VDD

rh_lin=C3*rh*rh + C2*rh + C1; // calc humidity from ticks

rh_true=(t_C-25)*(T1+T2*rh)+rh_lin;// calc temperature compensated humidity

if(rh_true>100)rh_true=100; // upper display bounds limit

if(rh_true<0.1)rh_true=0.1; // lower display bounds limit

*p_temperature=t_C; //return temperature

*p_humidity=rh_true; //return humidity
}

float calc_dewpoint(float h, float t)
{
float logEx, dew_point;

logEx=0.66077+7.5*t/(237.3+t)+(log10(h)-2);

dew_point = (logEx - 0.66077)*237.3/(0.66077+7.5-logEx);

return dew_point;
}

void HumiditySHT11Func(void)

```

```
{ uint8_t lcdbuf[SIZEOFLCD + 1];

value humid_val,temp_val;

unsigned char error,checksum;

char T_TL,T_TH,HumidBCD,TempBCD,H_TL,H_TH;

MAKE_SCK_OUTPUT;           //make SCK line output

s_connectionreset();

    _delay_ms(20);

printf("\r\n-----");

error=0;

error+=s_measure((unsigned char*) &humid_val,i,&checksum,HUMID);

    _delay_ms(20);

error+=s_measure((unsigned char*) &temp_val,i,&checksum,TEMP);

if(error != 0)

{ _delay_ms(12);

    s_connectionreset();

_delay_ms(12);

lcd_clear (3);           //for sim
```



```
    lcd_gotoxy (LINE3,2);

        lcd_printf ("%");

    lcd_gotoxy (LINE3,3);

    sprintf (lcdbuf,"RH = --.- ");

    lcd_printf (lcdbuf);

    lcd_clear (4);        //for sim

    lcd_gotoxy (LINE4,3);

    sprintf (lcdbuf,"Temp = --.- 'C");

    lcd_printf (lcdbuf);

    printf ("\r\n999");

    _delay_ms(50);
}

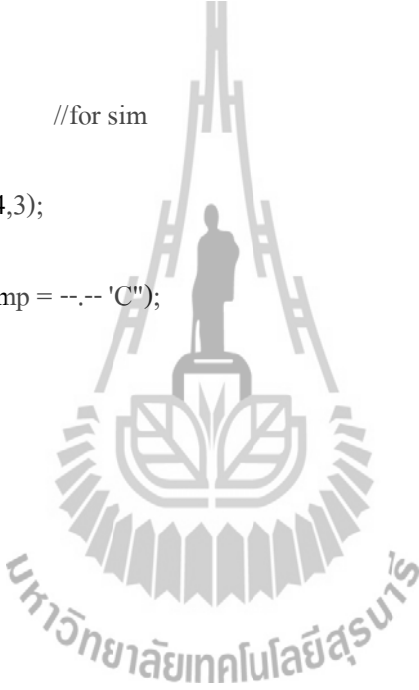
else

{

    humid_val.f=(float)humid_val.i;

    temp_val.f=(float)temp_val.i;

    calc_sht11(&humid_val.f,&temp_val.f);
```

The watermark is a circular emblem for King Mongkut's University of Technology Sureson. It features a central figure of a person standing on a pedestal, flanked by two stylized figures. Below the figure is a lotus flower. The entire emblem is surrounded by a decorative border. The text 'มหาวิทยาลัยเทคโนโลยีสุรนารี' is written in Thai script around the bottom of the emblem.

```
_val.humid=humid_val.f;

    lcd_gotoxy (LINE3,3);

    lcd_printf ("%");

    lcd_gotoxy (LINE3,4);

    sprintf (lcdbuf,"RH = %.2f",humid_val.f);

    lcd_printf (lcdbuf);

    lcd_gotoxy (LINE4,2);

    sprintf (lcdbuf,"Temp = %.2f'C",temp_val.f);

    lcd_printf (lcdbuf);

    humid_val.i=(unsigned int)humid_val.f;

    HumidBCD = CHAR2BCD2(humid_val.i);

    H_TL = (HumidBCD & 0x0F) + '0';

    H_TH = ((HumidBCD >> 4) & 0x0F) + '0';

    temp_val.i=(unsigned int)temp_val.f;

    TempBCD = CHAR2BCD2(temp_val.i);

    T_TL = (TempBCD & 0x0F) + '0';

    T_TH = ((TempBCD >> 4) & 0x0F) + '0';
```

```
printf("\r\n%c,%c",H_TH,H_TL);

lcd_clear (3);      //for sim

lcd_gotoxy (LINE3,1);

    lcd_printf ("%");

lcd_gotoxy (LINE3,2);

sprintf (lcdbuf,"RH = %c%c ",H_TH,H_TL);

lcd_printf (lcdbuf);

lcd_gotoxy (LINE3,9);

lcd_printf ("%");

lcd_clear (4);      //for sim

lcd_gotoxy (LINE4,2);

sprintf (lcdbuf,"Temp = %c%c'C",T_TH,T_TL);

lcd_printf (lcdbuf);*/

    _delay_ms(50);

}

}

#endif
```

ภาคผนวก ค



DATASHEET SHT15

SHT1x

Humidity & Temperature Sensor

- . Relative humidity and temperature sensors
- . Dew point
- . Fully calibrated, digital output
- . Excellent long term stability
- . No external components required
- . Ultra low power consumption
- . Surface mountable or 4.pin fully interchangeable
- . Small size
- . Automatic power down

SHT1x Product Summary

The SHTxx is a single chip relative humidity and temperature multi sensor module comprising a calibrated digital output. Application of industrial CMOS processes with patented micro.machining (CMOSens® technology) ensures highest reliability and excellent long term stability. The device includes a capacitive polymer sensing element for relative humidity and a bandgap temperature sensor. Both are seamlessly coupled to a 14bit analog to digital converter and a serial interface circuit on the same chip. This results in superior signal quality, a fast response time and insensitivity to external disturbances (EMC) at a very competitive price. Each SHTxx is individually calibrated in a precision humidity chamber with a chilled mirror hygrometer as reference. The calibration coefficients are programmed into the OTP

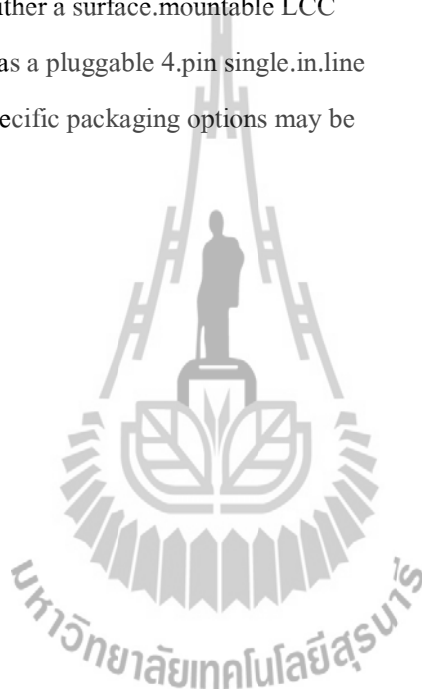
memory. These coefficients are used internally during measurements to calibrate the signals from the sensors.

The 2-wire serial interface and internal voltage regulation allows easy and fast system integration. Its tiny size and low power consumption makes it the ultimate choice for even the most demanding applications.

The device is supplied in either a surface-mountable LCC (Leadless Chip Carrier) or as a pluggable 4-pin single-in-line type package. Customer specific packaging options may be available on request.

Applications

- _ HVAC
- _ Automotive
- _ Consumer Goods
- _ Weather Stations
- _ Humidifiers
- _ Dehumidifiers
- _ Test & Measurement
- _ Data Logging
- _ Automation
- _ White Goods
- _ Medical

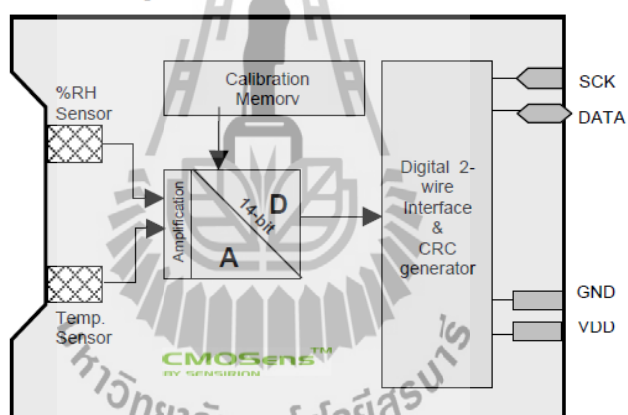


Ordering Information

| Part Number | Humidity accuracy [%RH] | Temperature accuracy [K] @ 25 °C | Package |
|-------------|-------------------------|----------------------------------|----------------------|
| SHT11 | ±3.0 | ±0.4 | SMD (LCC) |
| SHT15 | ±2.0 | ±0.3 | SMD (LCC) |
| SHT71 | ±3.0 | ±0.4 | 4-pin single-in-line |
| SHT75 | ±1.8 | ±0.3 | 4-pin single-in-line |

รูปที่ ค.1 Ordering Information

Block Diagram

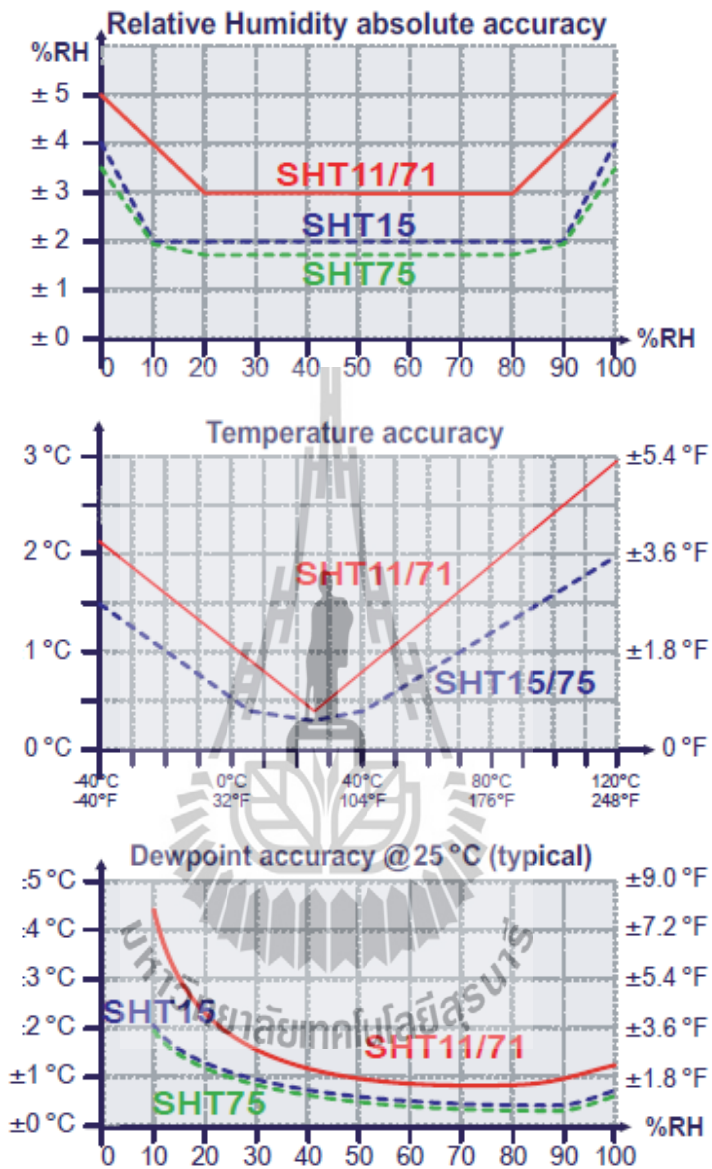


รูปที่ ค.2 Block Diagram

1 Sensor Performance Specifications

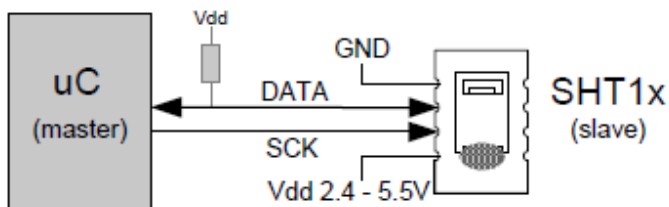
| Parameter | Conditions | Min. | Typ. | Max. | Units |
|--|--------------------------------|-----------------------|-------|-------|--------|
| Humidity | | | | | |
| Resolution ⁽²⁾ | | 0.5 | 0.03 | 0.03 | %RH |
| | | 8 | 12 | 12 | bit |
| Repeatability | | | ±0.1 | | %RH |
| Accuracy ⁽¹⁾ Uncertainty | linearized | see figure 1 | | | |
| Interchangeability | | Fully interchangeable | | | |
| Nonlinearity | raw data | | ±3 | | %RH |
| | linearized | | <<1 | | %RH |
| Range | | 0 | | 100 | %RH |
| Response time | 1/e (63%) slowly moving air | | 4 | | s |
| Hysteresis | | | ±1 | | %RH |
| Long term stability | typical | | < 0.5 | | %RH/yr |
| Temperature | | | | | |
| Resolution ⁽²⁾ | | 0.04 | 0.01 | 0.01 | °C |
| | | 0.07 | 0.02 | 0.02 | °F |
| | | 12 | 14 | 14 | bit |
| Repeatability | | | ±0.1 | | °C |
| | | | ±0.2 | | °F |
| Accuracy | | see figure 1 | | | |
| Range | | -40 | | 123.8 | °C |
| | | -40 | | 254.9 | °F |
| Response Time | 1/e (63%) | 5 | | 30 | s |

รูปที่ ๓.3 Table 1 Sensor Performance Specifications



รูปที่ ๓.๔ Rel. Humidity, Temperature and Dewpoint accuracies

2 Interface Specifications



รูปที่ ๓.5 Typical application circuit

2.1 Power Pins

The SHTxx requires a voltage supply between 2.4 and 5.5 V.

After powerup the device needs 11ms to reach its “sleep” state. No commands should be sent before that time.

Power supply pins (VDD, GND) may be decoupled with a 100 nF capacitor.

2.2 Serial Interface (Bidirectional 2.wire)

The serial interface of the SHTxx is optimized for sensor readout and power consumption and is not compatible with I2C interfaces, see FAQ for details.

2.2.1 Serial clock input (SCK)

The SCK is used to synchronize the communication between a microcontroller and the SHTxx. Since the interface consists of fully static logic there is no minimum SCK frequency.

2.2.2 Serial data (DATA)

The DATA tristate pin is used to transfer data in and out of the device. DATA changes after the falling edge and is valid on the rising edge of the serial clock SCK. During transmission the DATA line must remain stable while SCK is high. To avoid signal contention the microcontroller should

only drive DATA low. An external pull.up resistor (e.g. 10 k Ω) is required to pull the signal high. (See Figure 2) Pull.up resistors are often included in I/O circuits of microcontrollers. See Table 5 for detailed IO characteristics.

2.2.3 Sending a command

To initiate a transmission, a “Transmission Start” sequence has to be issued. It consists of a lowering of the DATA line while SCK is high, followed by a low pulse on SCK and raising DATA again while SCK is still high.



รูปที่ ๑.6 "Transmission Start" sequence

The subsequent command consists of three address bits (only “000” is currently supported) and five command bits.

The SHTxx indicates the proper reception of a command by pulling the DATA pin low (ACK bit) after the falling edge of the 8th SCK clock. The DATA line is released (and goes high) after the falling edge of the 9th SCK clock.

| Command | Code |
|--|--------------|
| Reserved | 0000x |
| Measure Temperature | 00011 |
| Measure Humidity | 00101 |
| Read Status Register | 00111 |
| Write Status Register | 00110 |
| Reserved | 0101x-1110x |
| Soft reset, resets the interface, clears the status register to default values wait minimum 11 ms before next command | 11110 |

รูปที่ ๑.7 SHTxx list of commands

2.2.4 Measurement sequence (RH and T)

After issuing a measurement command ('00000101' for RH, '00000011' for Temperature) the controller has to wait for the measurement to complete. This takes approximately 11/55/210 ms for a 8/12/14bit measurement. The exact time varies by up to 15% with the speed of the internal oscillator. To signal the completion of a measurement, the SHTxx pulls down the data line and enters idle mode. The controller must wait for this "data ready" signal before restarting SCK to readout the data. Measurement data is stored until readout, therefore the controller can continue with other tasks and readout as convenient.

Two bytes of measurement data and one byte of CRC checksum will then be transmitted. The uC must acknowledge each byte by pulling the DATA line low. All values are MSB first, right justified. (e.g. the 5th SCK is MSB for a 12bit value, for a 8bit result the first byte is not used). Communication terminates after the acknowledge bit of the CRC data. If CRC.8 checksum is not used the controller may terminate the communication after the measurement data LSB by keeping ack high.

The device automatically returns to sleep mode after the measurement and communication have ended.

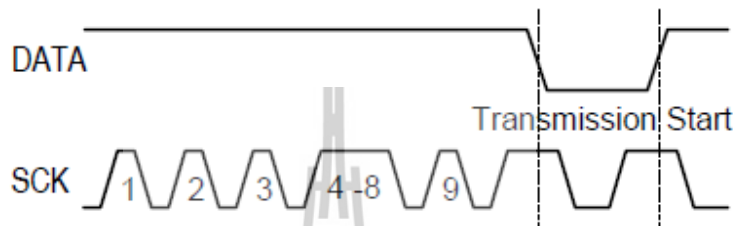
Warning: To keep self heating below 0.1 °C the SHTxx should not be active for more than 10% of the time (e.g. max. 2 measurements / second for 12bit accuracy).

2.2.5 Connection reset sequence

If communication with the device is lost the following signal

sequence will reset its serial interface:

While leaving DATA high, toggle SCK 9 or more times. This must be followed by a “Transmission Start” sequence preceding the next command. This sequence resets the interface only. The status register preserves its content.

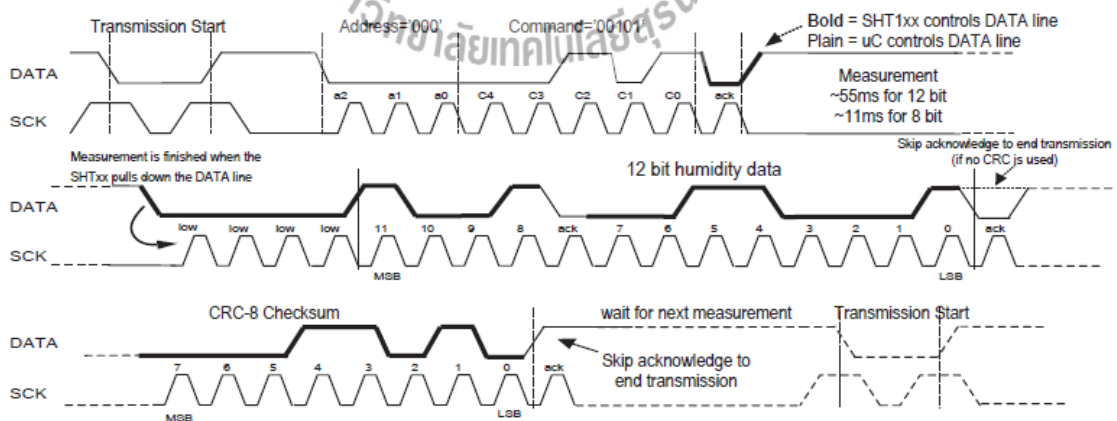


รูปที่ ค.8 Connection reset sequence

2.2.6 CRC.8 Checksum calculation

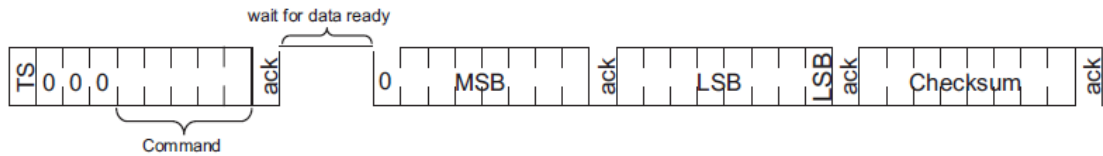
The whole digital transmission is secured by a 8 bit checksum. It ensures that any wrong data can be detected and eliminated.

Please consult application note “CRC.8 Checksum Calculation” for information on how to calculate the CRC.



รูปที่ ค.9 Example RH measurement sequence for value “0000’1001 ’ 0011’0001”= 2353 = 75.79

%RH (without temperature compensation)



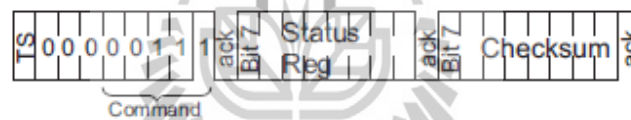
รูปที่ ค.10 Overview of Measurement Sequence (TS = Transmission Start)

2.3 Status Register

Some of the advanced functions of the SHTxx are available through the status register. The following section gives a brief overview of these features. A more detailed description is available in the application note “Status Register”



รูปที่ ค.11 Status Register Write



รูปที่ ค.12 Status Register Read

| Bit | Type | Description | Default |
|-----|------|---|--|
| 7 | | reserved | 0 |
| 6 | R | End of Battery (low voltage detection) '0' for Vdd > 2.47 '1' for Vdd < 2.47 | X No default value, bit is only updated after a measurement |
| 5 | | reserved | 0 |
| 4 | | reserved | 0 |
| 3 | | For Testing only, do not use | 0 |
| 2 | R/W | Heater | 0 off |
| 1 | R/W | no reload from OTP | 0 reload |
| 0 | R/W | '1' = 8bit RH / 12bit Temperature resolution '0' = 12bit RH / 14bit Temperature resolution | 0 12bit RH 14bit Temp. |

รูปที่ ค.13 Status Register Bits

2.3.1 Measurement resolution

The default measurement resolution of 14bit (temperature) and 12bit (humidity) can be reduced to 12 and 8bit. This is especially useful in high speed or extreme low power applications.

2.3.2 End of Battery

The “End of Battery” function detects VDD voltages below 2.47 V. Accuracy is ± 0.05 V

2.3.3 Heater

An on chip heating element can be switched on. It will increase the temperature of the sensor by 5.15 °C (9.27 °F). Power consumption will increase by ~ 8 mA @ 5 V.

Applications:

By comparing temperature and humidity values before and after switching on the heater, proper functionality of both sensors can be verified.

- In high (>95 %RH) RH environments heating the sensor element will prevent condensation, improve response time and accuracy

Warning: While heated the SHTxx will show higher temperatures and a lower relative humidity than with no heating.

2.4 Electrical Characteristics(1)

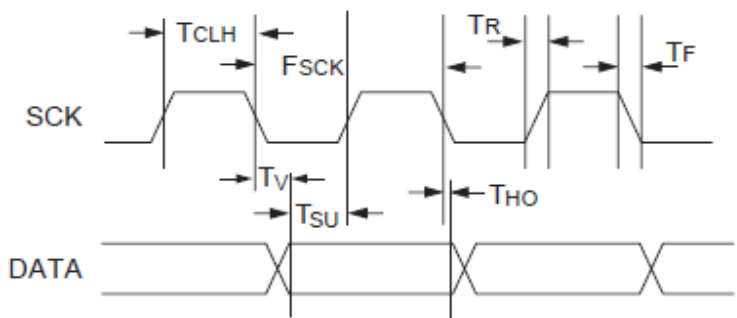
VDD=5V, Temperature = 25 °C unless otherwise noted

| Parameter | Conditions | Min. | Typ. | Max. | Units |
|---------------------------|-----------------|------------------|-------------------|------|-------|
| Power supply DC | | 2.4 | 5 | 5.5 | V |
| Supply current | measuring | | 550 | | μA |
| | average | 2 ⁽²⁾ | 28 ⁽³⁾ | | μA |
| | sleep | | 0.3 | 1 | μA |
| Low level output voltage | | 0 | | 20% | Vdd |
| High level output voltage | | 75% | | 100% | Vdd |
| Low level input voltage | Negative going | 0 | | 20% | Vdd |
| High level input voltage | Positive going | 80% | | 100% | Vdd |
| Input current on pads | | | | 1 | μA |
| Output peak current | on | | | 4 | mA |
| | Tristated (off) | | 10 | | μA |

รูปที่ ๑.14 SHTxx DC Characteristics

| | Parameter | Conditions | Min | Typ. | Max. | Unit |
|--------------------------------|--------------------|--------------------|-----|------|------|------|
| F _{SCK} | SCK frequency | VDD > 4.5 V | | | 10 | MHz |
| | | VDD < 4.5 V | | | 1 | MHz |
| T _{RFO} | DATA fall time | Output load 5 pF | 3.5 | 10 | 20 | ns |
| | | Output load 100 pF | 30 | 40 | 200 | ns |
| T _{CLX} | SCK hi/low time | | 100 | | | ns |
| T _V | DATA valid time | | | 250 | | ns |
| T _{SU} | DATA set up time | | 100 | | | ns |
| T _{HO} | DATA hold time | | 0 | 10 | | ns |
| T _R /T _F | SCK rise/fall time | | | 200 | | ns |

รูปที่ ๑.15 SHTxx I/O Signals Characteristics



รูปที่ ๑.16 Timing Diagram

3 Converting Output to Physical Values

3.1 Relative Humidity

To compensate for the non-linearity of the humidity sensor and to obtain the full accuracy it is recommended to convert the readout with the following formula 1:

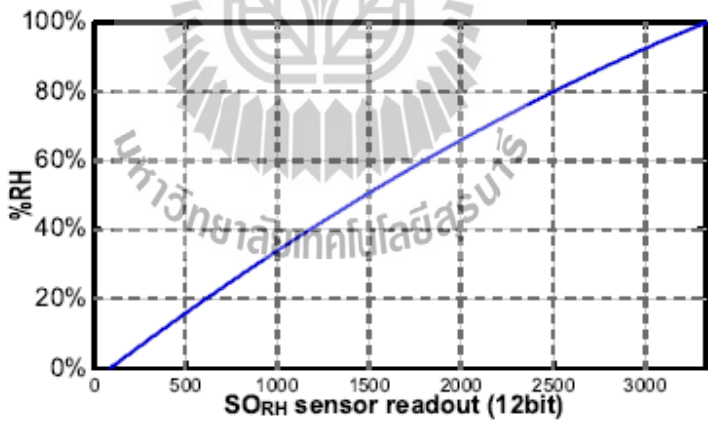
$$2RH_{linear} = c_1 + c_2 \cdot SORH + c_3 \cdot SORH^2$$

| SORH | C1 | C2 | C3 |
|--------|----|--------|-------------------------|
| 12 bit | -4 | 0.0405 | -2.8 * 10 ⁻⁶ |
| 8 bit | -4 | 0.648 | -7.2 * 10 ⁻⁴ |

รูปที่ ๑.17 Humidity conversion coefficients

For simplified, less computation intense conversion formulas see application note “RH and Temperature Non-Linearity Compensation”.

The humidity sensor has no significant voltage dependency.



รูปที่ ๑.18 Conversion from SORH to relative humidity

3.1.1 Humidity Sensor RH/Temperature compensation

For temperatures significantly different from 25 °C (~77 °F) the temperature coefficient of the RH sensor should be considered:

$$RH_{true} = (T_{C} - 25) \cdot (t_1 + t_2 \cdot SORH) + RH_{linear}$$

| SO _{RH} | t ₁ | t ₂ |
|------------------|----------------|----------------|
| 12 bit | 0.01 | 0.00008 |
| 8 bit | 0.01 | 0.00128 |

รูปที่ ๓.19 Temperature compensation coefficients

This equals ~0.12 %RH / °C @ 50 %RH

3.2 Temperature

The bandgap PTAT (Proportional To Absolute Temperature)

temperature sensor is very linear by design. Use the following formula to convert from digital readout to temperature:

Temperature = d₁ + d₂ • SOT

| VDD | d ₁ [°C] | d ₁ [°F] |
|------|---------------------|---------------------|
| 5V | -40.00 | -40.00 |
| 4V | -39.75 | -39.50 |
| 3.5V | -39.66 | -39.35 |
| 3V | -39.60 | -39.28 |
| 2.5V | -39.55 | -39.23 |

| SO _T | d ₂ [°C] | d ₂ [°F] |
|-----------------|---------------------|---------------------|
| 14bit | 0.01 | 0.018 |
| 12bit | 0.04 | 0.072 |

รูปที่ ๓.20 Temperature conversion coefficients

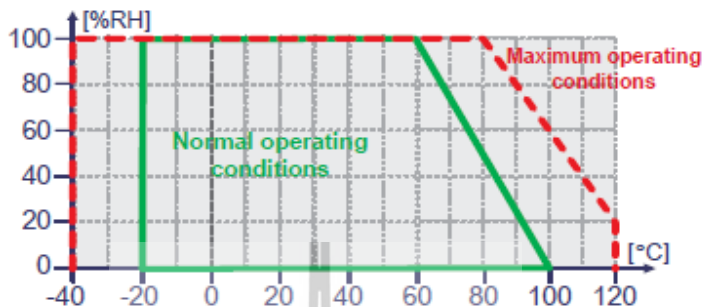
For improved accuracies in extreme temperatures with more computation intense conversion formulas see application note “RH and Temperature Non-Linearity Compensation”.

3.3 Dewpoint

Since humidity and temperature are both measured on the same monolithic chip, the SHTxx allows superb dewpoint measurements. See application note “Dewpoint calculation” for more.

4 Applications Information

4.1 Operating and Storage Conditions



รูปที่ ๓.๒๑ Recommended operating conditions

Conditions outside the recommended range may temporarily offset the RH signal up to 3 %RH. After return to normal conditions it will slowly return towards calibration state by itself. See 4.3 “Reconditioning Procedure” to accelerate this process. Prolonged exposure to extreme conditions may accelerate ageing.

4.2 Exposure to Chemicals

Chemical vapors may interfere with the polymer layers used for capacitive humidity sensors. The diffusion of chemicals into the polymer may cause a shift in both offset and sensitivity. In a clean environment the contaminants will slowly outgas. The reconditioning procedure described below will accelerate this process. High levels of pollutants may cause permanent damage to the sensing polymer.

4.3 Reconditioning Procedure

The following reconditioning procedure will bring the sensor back to calibration state after exposure to extreme conditions or chemical vapors.

80.90 °C (176.194°F) at < 5 %RH for 24h (baking) followed by

20.30 °C (70.90°F) at > 74 %RH for 48h (re.hydration)

4.4 Temperature Effects

The relative humidity of a gas strongly depends on its temperature. It is therefore essential to keep humidity sensors at the same temperature as the air of which the relative humidity is to be measured.

If the SHTxx shares a PCB with electronic components that give off heat it should be mounted far away and below the heat source and the housing must remain well ventilated.

To reduce heat conduction copper layers between the SHT1x and the rest of the PCB should be minimized and a slit may be milled in between (see figure 13).

4.5 Membranes

A membrane may be used to prevent dirt from entering the housing and to protect the sensor. It will also reduce peak concentrations of chemical vapors. For optimal response times air volume behind the membrane must be kept to a minimum. For the SHT1x package Sensirion recommends the SF1 filter cap for optimal IP67 protection.

4.6 Light

The SHTxx is not light sensitive. Prolonged direct exposure to sunshine or strong UV radiation may age the housing.

4.7 Materials Used for Sealing / Mounting

Many materials absorb humidity and will act as a buffer, increasing response times and hysteresis. Materials in the vicinity of the sensor must therefore be carefully chosen. Recommended materials are: All Metals, LCP, POM (Delrin), PTFE (Teflon), PE, PEEK, PP, PB, PPS, PSU, PVDF, PVF

For sealing and gluing (use sparingly): High filled epoxy for electronic packaging (e.g. glob top, underfill), and Silicone.

Outgassing of these materials may also contaminate the SHTxx (cf. 4.2). Store well ventilated after manufacturing or bake at 50°C for 24h to outgas contaminants before packing.

4.8 Wiring Considerations and Signal Integrity

Carrying the SCK and DATA signal parallel and in close proximity (e.g. in wires) for more than 10cm may result in cross talk and loss of communication. This may be resolved by routing VDD and/or GND between the two data signals. Please see the application note “ESD, Latchup and EMC” for more information.

Power supply pins (VDD, GND) should be decoupled with a 100 nF capacitor if wires are used.

4.9 Qualifications

Extensive tests were performed in various environments.

Please contact SENSIRION for detailed information.

| Environment | Norm | Results ⁽¹⁾ |
|---------------------------------|---|----------------------------|
| Temperature Cycles | JESD22-A104-B -40 °C / 125 °C, 1000 cy | Within Specifications |
| HAST Pressure Cooker | JESD22-A110-B 2.3 bar 125 °C 85 %RH | Reversible shift by +2 %RH |
| High Temperature and Humidity | JESD22-A101-B 85 °C 85 %RH 1250h | Reversible shift by +2 %RH |
| Salt Atmosphere | DIN-50021ss | Within Spec. |
| Condensing Air | - | Within Spec. |
| Freezing cycles fully submerged | -20 / +90 °C, 100 cy 30min dwell time | Reversible shift by +2 %RH |
| Various Automotive Chemicals | DIN 72300-5 | Within Specifications |

รูปที่ ๓.22 Qualification tests (excerpt)

4.10 ESD (Electrostatic Discharge)

ESD immunity is qualified according to MIL STD 883E, method 3015 (Human Body Model at 12 kV).

Latch-up immunity is provided at a force current of 100 mA with $T_{amb} = 80\text{ }^{\circ}\text{C}$ according to JEDEC 17. See application note “ESD, Latchup and EMC” for more information.

5 Package Information

5.1 SHT1x (surface mountable)

| Pin | Name | Comment |
|-----|------|---|
| 1 | GND | Ground |
| 2 | DATA | Serial data, bidirectional |
| 3 | SCK | Serial clock, input |
| 4 | VDD | Supply 2.4 - 5.5 V |
| | NC | Remaining pins must be left unconnected |

รูปที่ ค.23 SHT1x Pin Description

5.1.1 Package type

The SHT1x is supplied in a surface-mountable LCC (Leadless Chip Carrier) type package. The sensors housing consists of a Liquid Crystal Polymer (LCP) cap with epoxy glob top on a standard 0.8 mm FR4 substrate. The device is free of lead, Cd and Hg.

Device size is 7.42 x 4.88 x 2.5 mm (0.29 x 0.19 x 0.1 inch)

Weight 100 mg

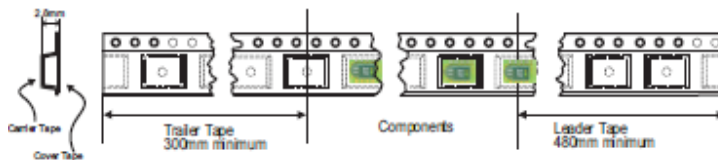
The production date is printed onto the cap in white numbers in the form wwy. e.g. "351" = week 35, 2001.

5.1.2 Delivery Conditions

The SHT1x are shipped in 12mm tape at 100pcs or 400pcs..

Reels are individually labelled with barcode and human

readable labels. The Lot numbers allow full traceability through production, calibration and test.



รูปที่ ๓.24 Tape configuration and unit orientation

5.1.3 Soldering Information

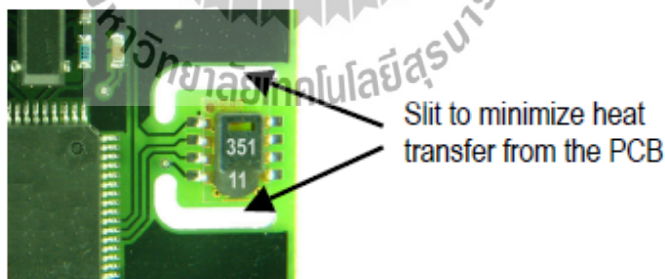
Standard reflow soldering ovens may be used. For details please see application note "soldering procedure".

For manual soldering contact time must be limited to 5 seconds at up to 350 °C.

After soldering the devices should be stored at >74 %RH for at least 24h to allow the polymer to rehydrate.

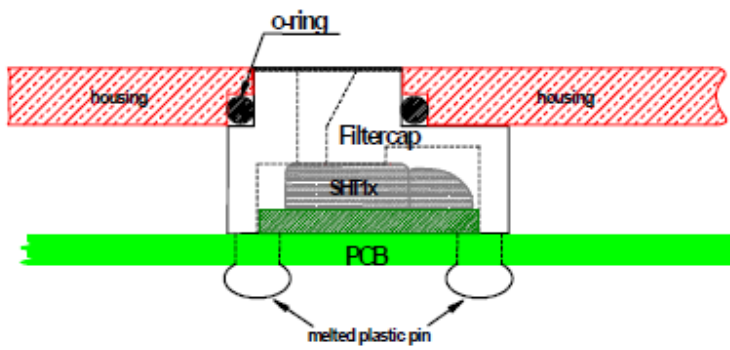
Please consult the application note “Soldering procedure” for more information.

5.1.4 Mounting Examples

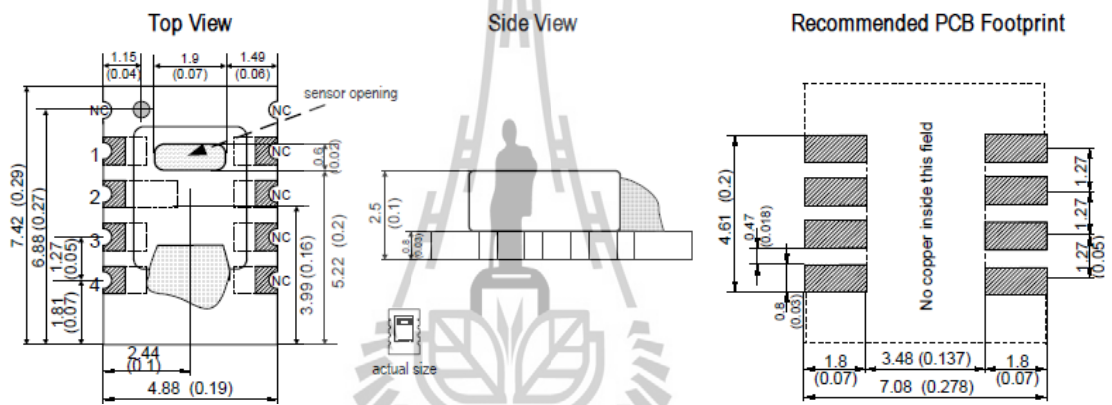


รูปที่ ๓.25 SHT1x PCB Mounting example

The SF1 membrane filter cap is available for optimal IP67 protection. When mounted through a housing the interior can be protected from the environment while still allowing high quality humidity measurements (see example below).



รูปที่ ๑.๒๖ SF1 IP67 filter cap mounting example



รูปที่ ๑.๒๗ SHT1x drawing and footprint dimensions in mm (inch)

ประวัติผู้เขียน



นายไพสิฐ พูลเพิ่ม เกิดเมื่อวันที่ 2 กุมภาพันธ์ พ.ศ. 2532
ภูมิลำเนาอยู่ที่ ตำบลประตู่ชัย อำเภอพระนครศรีอยุธยา
จังหวัดพระนครศรีอยุธยา สำเร็จการศึกษาระดับ
มัธยมศึกษาตอนปลายจากโรงเรียนอยุธยาวิทยาลัย อำเภอ
พระนครศรีอยุธยา จังหวัดพระนครศรีอยุธยา ปัจจุบันเป็น
นักศึกษาชั้นปีที่ 4 สาขาวิชาวิศวกรรมโทรคมนาคม
สำนักวิชาวิศวกรรมศาสตร์
มหาวิทยาลัยเทคโนโลยีสุรนารี



นางสาวสุปรียา มะโนมัน เกิดเมื่อวันที่ 30 มกราคม
พ.ศ.2532 ภูมิลำเนาอยู่ที่ ตำบลบัวใหญ่ อำเภอบัวใหญ่
จังหวัดนครราชสีมา สำเร็จการศึกษาระดับมัธยมศึกษา
ตอนปลายจากโรงเรียนวัดประชนานิมิตร อำเภอบัวใหญ่
จังหวัดนครราชสีมา ปัจจุบันเป็นนักศึกษาชั้นปีที่ 4
สาขาวิชาวิศวกรรมโทรคมนาคม สำนักวิชา
วิศวกรรมศาสตร์ มหาวิทยาลัยเทคโนโลยีสุรนารี